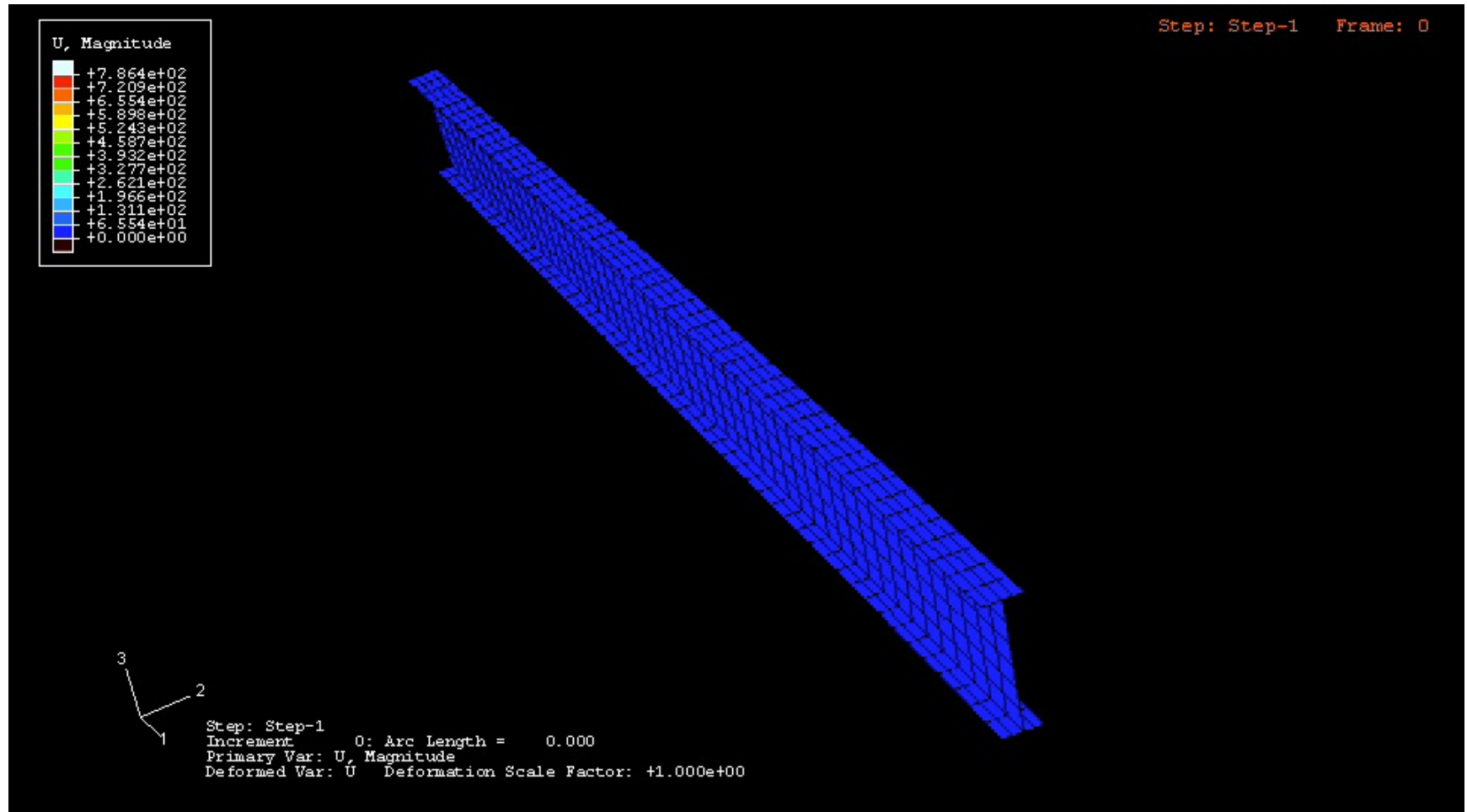


# COURS STRUCTURES EN MÉTAL

TGC 10, chap. 11:  
Déversement

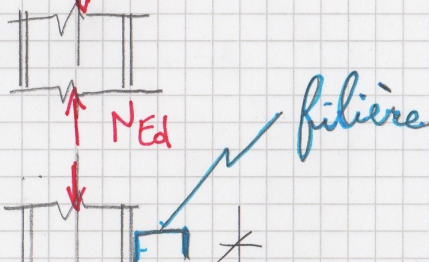
# Simulation déversement poutre en porte-à-faux



# RAPPEL: Analogie entre compression et flexion

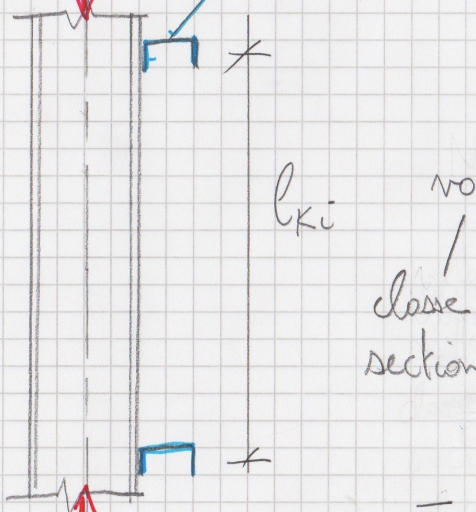
## Compression

Section



$$N_{pl} = f_y \cdot A$$

Élément



classe  
section

$N_{Rk}$

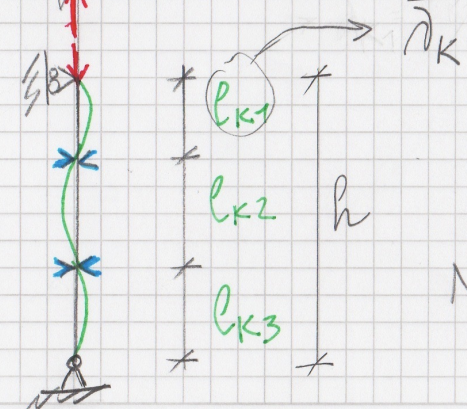
voilement

flambage

$$N_k = \chi_k \cdot N_{classe}$$

$$\chi_k = 1 \text{ si } \bar{\lambda}_k \leq 0,2 \\ (\text{flambage empêché})$$

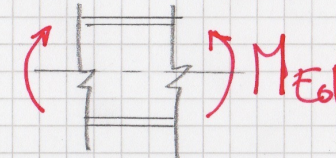
Modèle  
statique



Vérification:

$$N_{Ed} \leq \frac{N_k}{\gamma_m}$$

## Flexion



$$M_{pe} = f_y \cdot W_{pl}$$

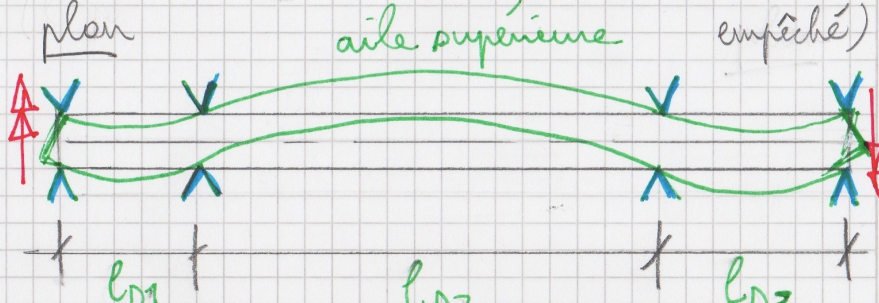
élévation

I



$M_{Rk}$  voilement - classe section

$$M_{Rk} = M_{classe} \\ \text{si } l_{D1} \leq l_{CR} \text{ (dévers. empêché)}$$



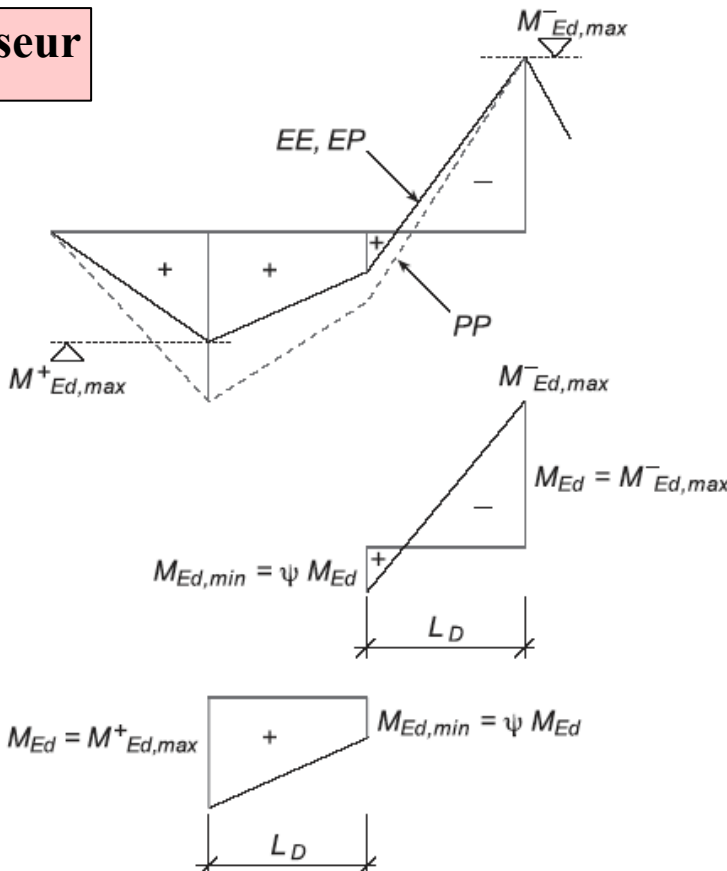
$$\text{Vérification: } M_{Ed} \leq \frac{M_{Rk}}{\gamma_m}$$

# RAPPEL: méthode de vérification a)

## SIA 263, tableau 6: Longueur critique de déversement

Longueur de déversement		Méthode PP			
<p>* appui au déversement</p>		<p>Pour tous les tronçons avec rotule plastique aux extrémités, la condition suivante doit être remplie: <math>L_D \leq L_{cr}</math></p>			
<p>Longueur critique de déversement pour la méthode PP</p>		$-1 \leq \psi \leq 0,5$ $\psi \geq 0,5$			
<p>En général: <math>L_{cr} =</math></p>		$2,0i_z(1-2\psi/3)(E/f_y)^{0,5}$ $1,35i_z(E/f_y)^{0,5}$			
<p>Exemple: tronçon 1      <math> M_{Ed,max}^-  = M_{pl}/\gamma_{M1}</math>          tronçon 2, 3      <math> M_{Ed,max}^+  = M_{pl}/\gamma_{M1}</math></p>					
Méthode EP					
<p>Pour tous les tronçons, la condition suivante doit être remplie: <math>L_D \leq L_{cr}</math></p>					
<p>Longueur critique de déversement pour la méthode EP</p>		$-1 \leq \psi \leq 1$			
<p>En général: <math>L_{cr} =</math></p>		$2,7i_z(1-0,5\psi)\sqrt{E/f_y}$			
Méthode EE					
<ul style="list-style-type: none"> <li>La vérification au déversement n'est pas nécessaire si la longueur <math>L_D</math> d'un tronçon remplit la condition suivante:</li> </ul>					
$L_D \leq 1,1 L_{cr}$ avec $L_{cr}$ calculé selon la méthode EP					
<ul style="list-style-type: none"> <li>Pour les tronçons où <math>L_D &gt; 1,1 L_{cr}</math>, une vérification au déversement doit être effectuée selon le chiffre 4.5.2</li> </ul>					

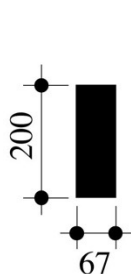
| = raidisseur



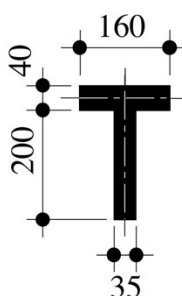
## EN1993-1-1 § 6.3.2.1

(2) Les poutres dont la semelle comprimée est suffisamment maintenue ne sont pas sensibles au déversement. En outre, les poutres possédant certains types de sections transversales, comme les profils creux circulaires ou carrés, les sections creuses circulaires ou en caisson carrées reconstituées, ne sont également pas sensibles au déversement.

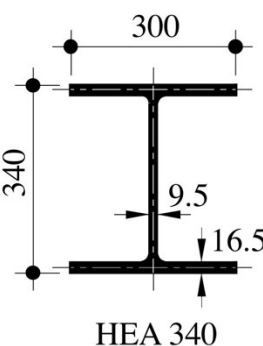
Section  
rectangulaire



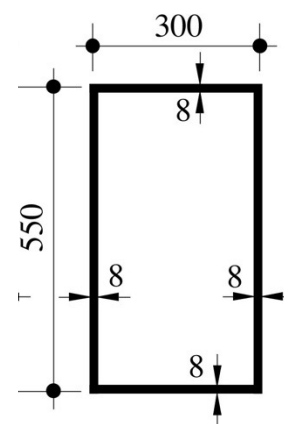
Section  
en té



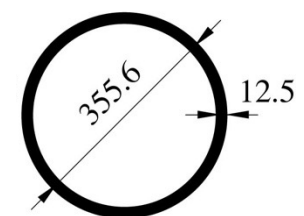
Profilé  
laminé



Caisson  
fermé

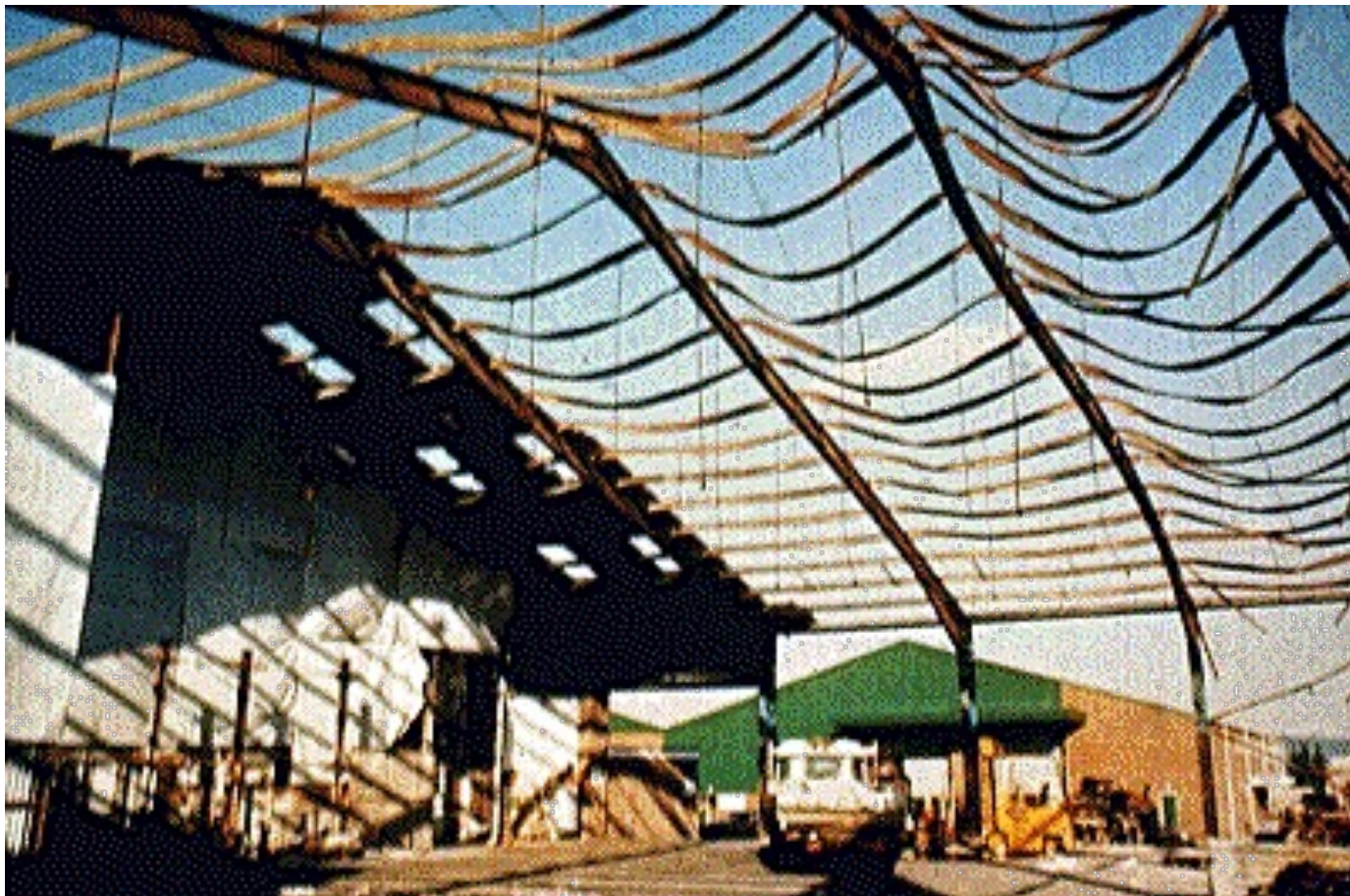


Tube  
fermé



ROR 355.6 · 12.5

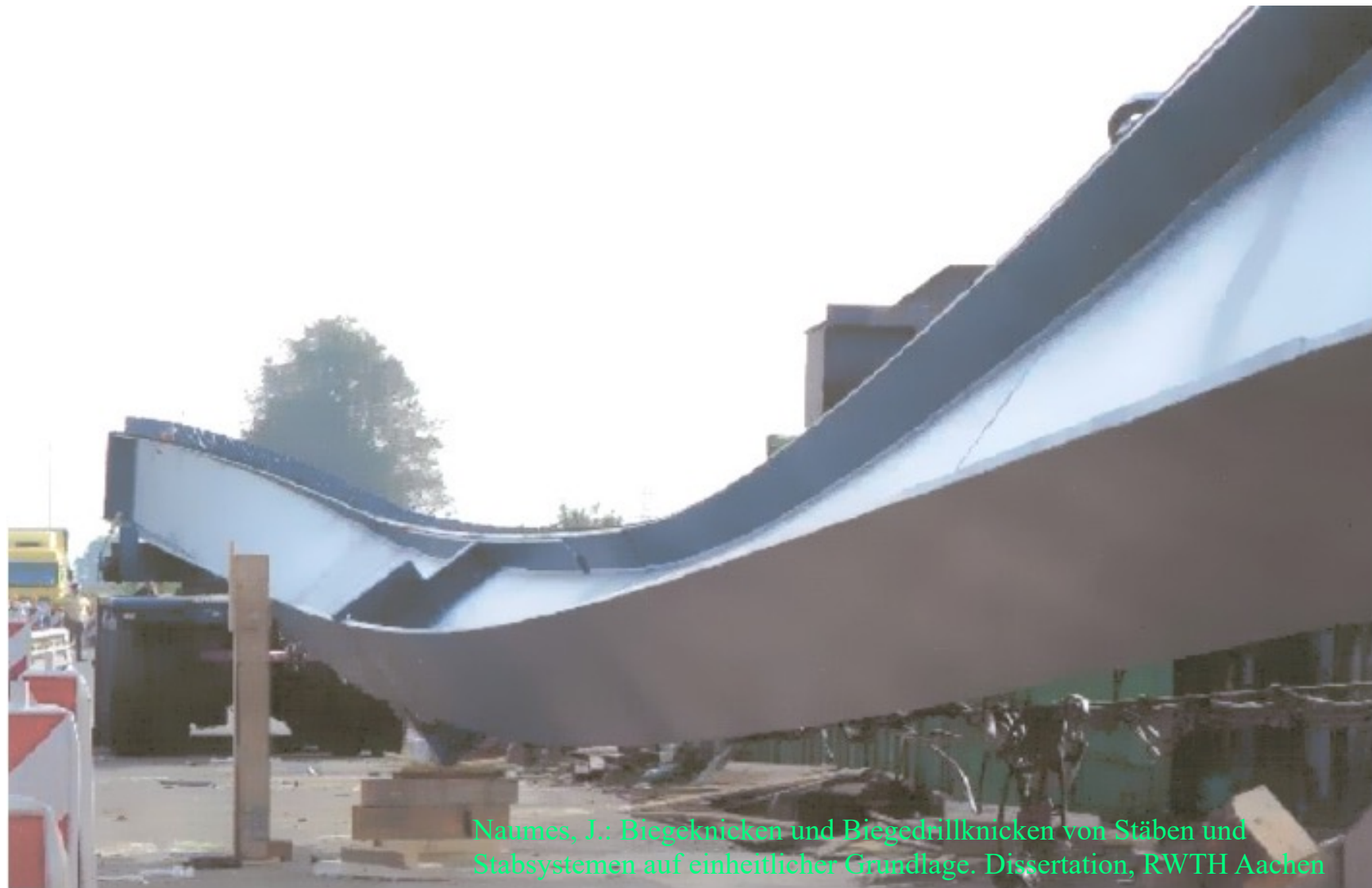
# Exemples pratiques de déversement



# Exemples pratiques de déversement



# Déversement d'une poutre sous propre poids lors arrivée sur chantier (au moment de l'enlèvement du bogie intermédiaire de transport)



Naumes, J.: Biegeknicken und Biegedrillknicken von Stäben und Stabsystemen auf einheitlicher Grundlage. Dissertation, RWTH Aachen

## dalle supérieure (passerelle piétons Marcy, New York, 2002)



Naumes, J.: Biegeknicken und Biegedrillknicken von Stäben und Stabsystemen auf einheitlicher Grundlage. Dissertation, RWTH Aachen

# Déversement de poutres élancées lors de leur montage (pont à Edmonton, Canada, 2015)



Bridge Design & Engineering, web news, Edmonton braces warped bridge girders, 2015:  
<http://bridgeweb.com/MemberPages/article.aspx?id=3590>



# Théorie linéaire du déversement élastique

TGC 10, section 11.2

# Fig. 11.3: décomposition du mouvement d'une poutre sujette au déversement

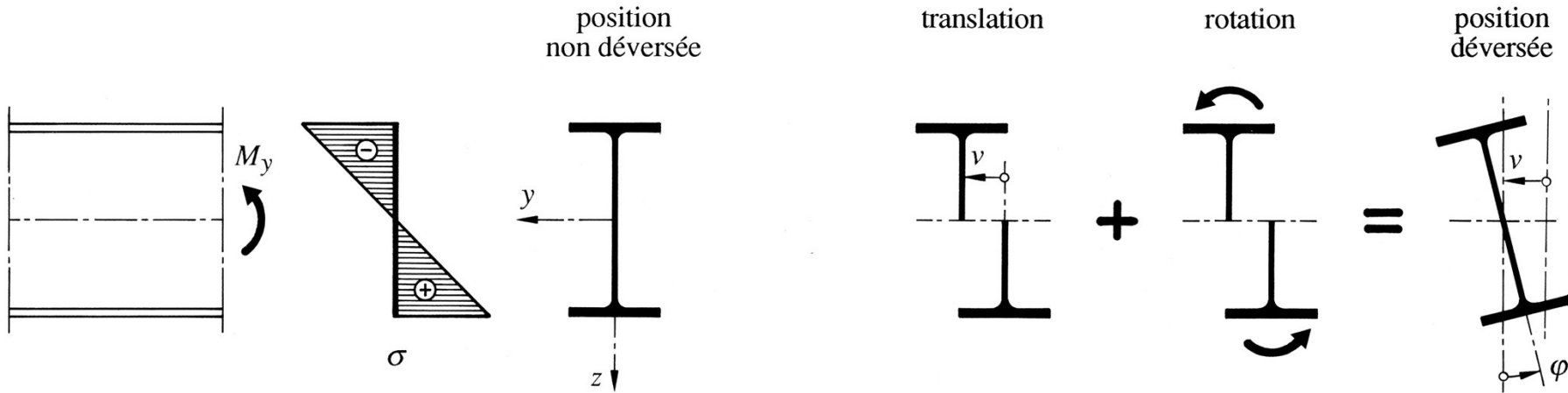


Fig. 11.2: comportement d'un élément fléchi

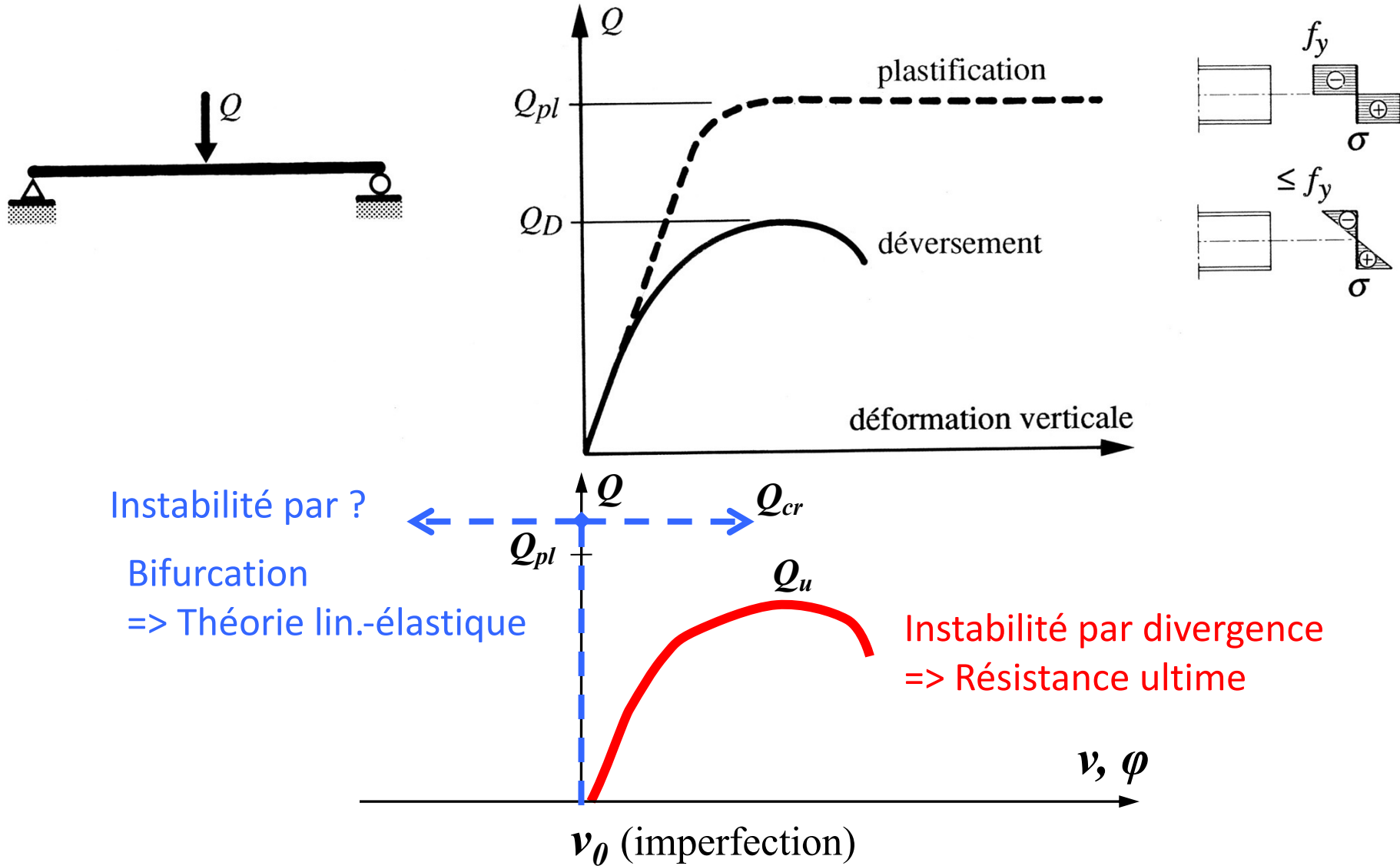
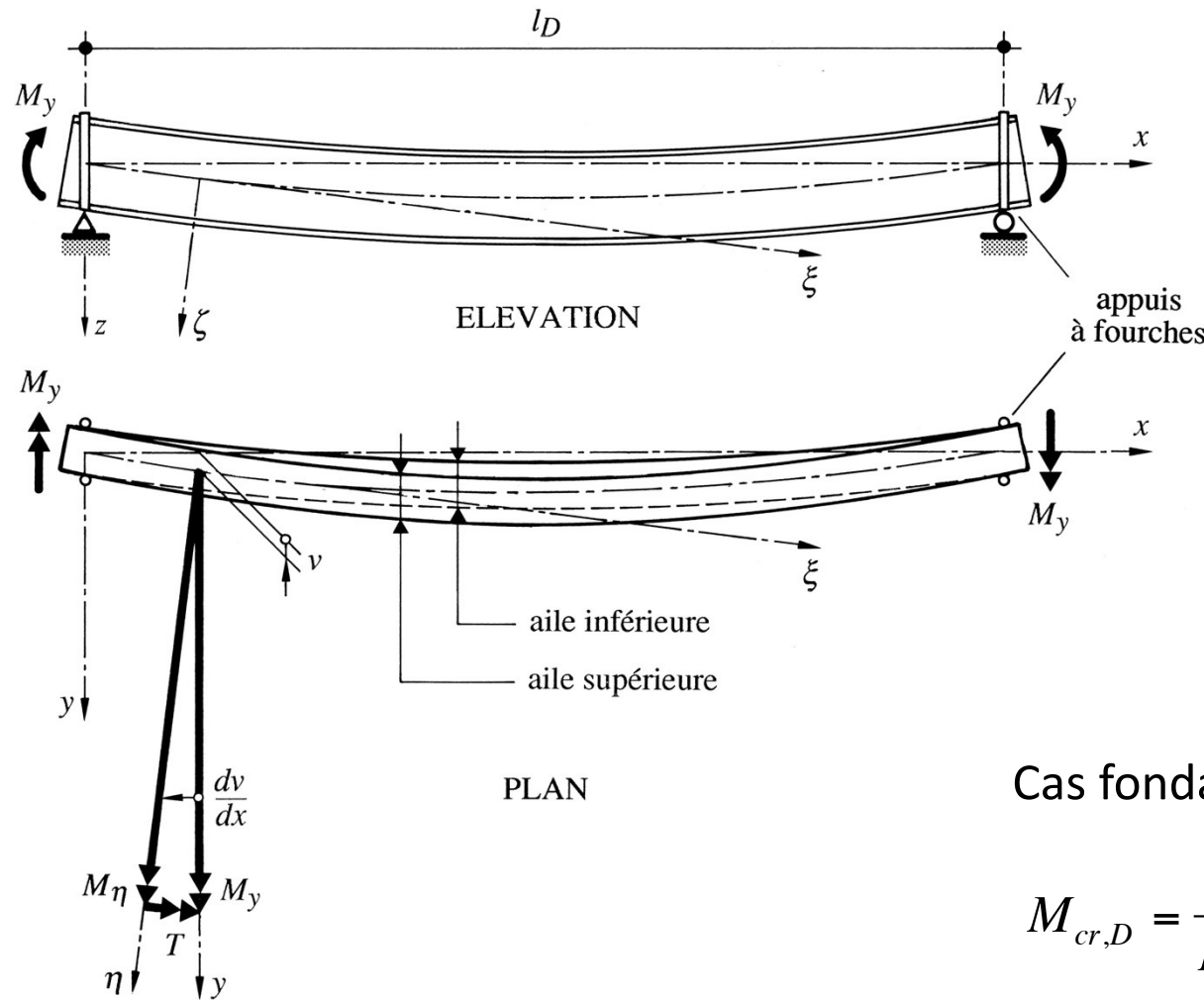


Fig. 11.4: poutre en position déformée (en double-té et soumis à  $M_y$ )



Cas fondamental, équation 11.5:

$$M_{cr,D} = \frac{\pi}{L_D} \sqrt{GK \cdot EI_z \cdot \left(1 + \frac{\pi^2 EI_\omega}{L_D^2 GK}\right)}$$



Cas général, équation 11.6:

$$M_{cr,D} = C_1 \frac{\pi^2 EI_z}{k_v k_\varphi L_D^2} \left[ \sqrt{\left( C_2 z_a + C_3 \beta \right)^2 + \frac{I_\omega}{I_z} \left( \frac{GK \cdot k_\varphi^2 L_D^2}{\pi^2 EI_\omega} + 1 \right)} + \left( C_2 z_a + C_3 \beta \right) \right]$$

Sections bisymétriques:  $\beta = 0$

Sections monosymétriques: voir expressions pour  $\beta$ ,  $z_C$ ,  $K$ ,  $I_\omega$  dans TGC 10, équ. 11.8 à 11.11 (et aussi section 4.5 sur torsion)

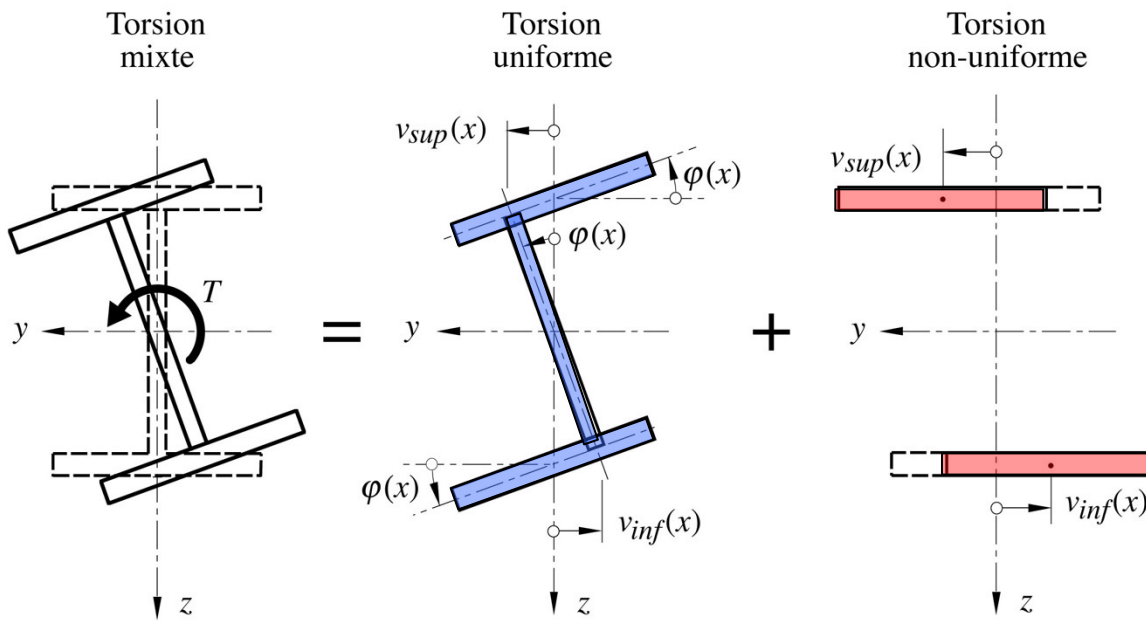
$C_1$  : influence forme de la distribution du moment fléchissant et conditions de maintiens aux extrémités

$C_2$  : influence point d'application de la charge

$k_v, k_\varphi$  : coeff. encastrement aux extrémités, aux appuis

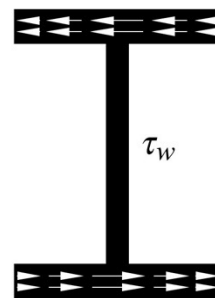
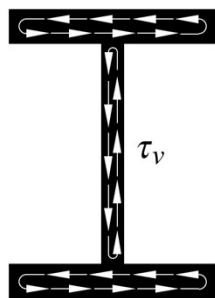
Note:  $M_{cr,D}$  au point de moment maximum le long de la poutre

# RAPPEL: Torsion. Fig. 4.28: décomposition rotation barre prismatique



Mobilise  $I_z$  en bimoment (flexions opposées)

Flux des contraintes tangentielles

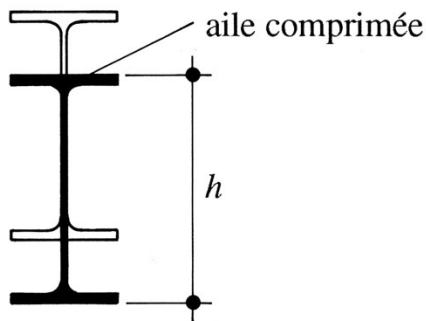


Pour profilé double-té (équ. 4.50):

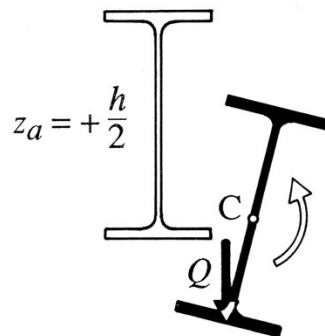
$$I_{\omega} = I_z \frac{(h - t_f)^2}{4} = I_{aile,z} \frac{(h - t_f)^2}{2}$$

# Fig. 11.11: influence position du point d'application de la charge

POSITION NON DEVERSEE



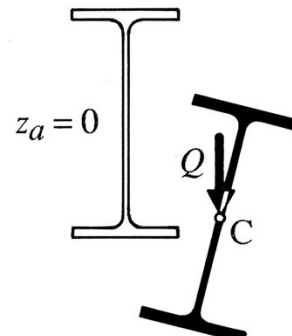
$$M_{crD,1} > M_{crD,2}$$



moment secondaire stabilisant

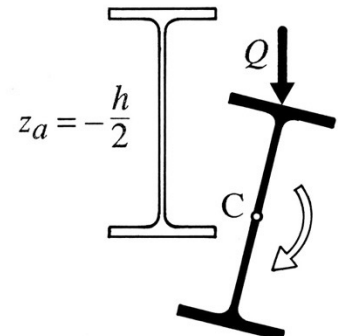
POSITIONS DEVERSEES

$$M_{crD,2}$$



moment secondaire nul

$$M_{crD,3} < M_{crD,2}$$



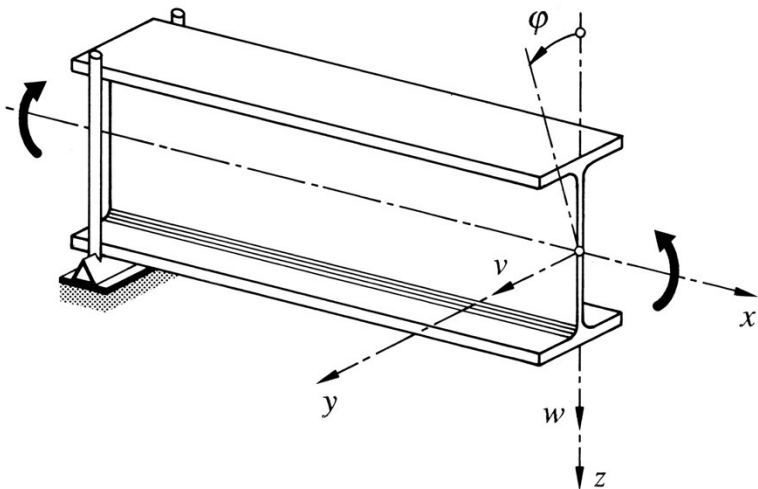
moment secondaire déstabilisant

# Fig. 11.5: conditions d'appui, charges et types de sections transversales

## CAS FONDAMENTAL (section bisymétrique)

Conditions d'appui :

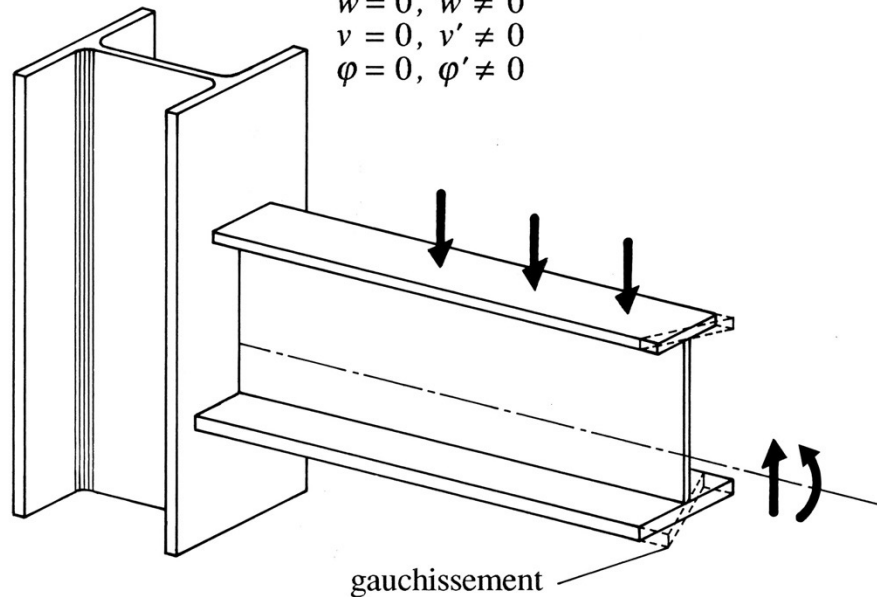
$$\begin{aligned}w &= 0, \quad w'' = 0 \\v &= 0, \quad v'' = 0 \\\varphi &= 0, \quad \varphi'' = 0\end{aligned}$$



## CAS GENERAL (section monosymétrique)

Conditions d'appui :

$$\begin{aligned}w &= 0, \quad w' \neq 0 \\v &= 0, \quad v' \neq 0 \\\varphi &= 0, \quad \varphi' \neq 0\end{aligned}$$



Tab. 11.7: conditions aux limites et valeurs approchées des coefficients d'encastrement (2 appuis identiques)

Schémas des appuis	Conditions aux limites	$k_v$ et $k_\varphi$	Remarques
	$w = w_0 \quad w'' = 0$ $v = 0 \quad v'' = 0$ $\varphi = 0 \quad \varphi'' = 0$	$k_v = 1.0$ $k_\varphi = 1.0$	Raidisseurs ou appuis latéraux au niveau de la membrure comprimée nécessaires afin d'empêcher la rotation de la poutre aux appuis. $w_0$ : déplacement vertical de l'appui.
	$w = 0 \quad w'' = 0$ $v = 0 \quad v'' = 0$ $\varphi = 0 \quad \varphi'' = 0$	$k_v = 1.0$ $k_\varphi = 1.0$	Liaison articulée dans laquelle les cornières doivent être suffisantes pour empêcher la rotation de la poutre aux appuis.
	$w = 0 \quad w'' = 0$ $v = 0 \quad v'' = 0$ $\varphi = 0 \quad \varphi'' = 0$	$k_v = 1.0$ $k_\varphi = 1.0$	Liaison semi-rigide peu résistante en flexion et avec gauchissement non empêché des ailes. On néglige la rigidité à la torsion du poteau.
	$w = 0 \quad w' = \phi_0$ $v = 0 \quad v'' = 0$ $\varphi = 0 \quad \varphi'' = 0$	$k_v = 1.0$ $k_\varphi < 1.0$	Liaison semi-rigide résistante en flexion et avec gauchissement empêché des ailes ( $k_\varphi < 1.0$ ). On néglige la rigidité à la torsion du poteau. $\phi_0$ : inclinaison du poteau.
	$w = 0 \quad w' = \phi_0$ $v = 0 \quad v'' = 0$ $\varphi = 0 \quad \varphi' = 0$	$k_v = 1.0$ $k_\varphi = 0.5$	Encastrement parfait de la poutre à la torsion, gauchissement empêché par les raidisseurs. On néglige la rigidité à la torsion du poteau. $\phi_0$ : inclinaison du poteau.
	$w = 0 \quad w' = 0$ $v = 0 \quad v' = 0$ $\varphi = 0 \quad \varphi' = 0$	$k_v = 0.5$ $k_\varphi = 0.5$	Encastrement parfait de la poutre à la flexion et à la torsion, gauchissement empêché par l'appui que l'on considère comme étant rigide à la torsion.

Tab. 11.8: valeurs des facteurs de déversement élastique (version 2015)

Cas M linéaire

Mode de chargement	$k_v = 1.0$			$k_v = 0.5$			$k_v = 2.0$		
	$C_1$	$C_2$	$C_3$	$C_1$	$C_2$	$C_3$	$C_1$	$C_2$	$C_3$
	1.00	①	1.00	1.00	①	<b>1.76</b>			
	<b>1.31</b>	①	<b>1.00</b>	<b>1.32</b>	①	<b>1.78</b>			
	<b>1.77</b>	①	<b>1.16</b>	<b>1.76</b>	①	<b>1.83</b>			
	<b>2.33</b>	①	0.68	<b>2.25</b>	①	1.55			
	<b>2.56</b>	①	0.00	<b>2.25</b>	①	0.00			
	1.13	0.46	0.53	0.97	0.30	0.98			
	<b>-2.58</b>	<b>1.53</b>	0.75	<b>-1.49</b>	<b>2.00</b>	1.07			
	1.36	<b>0.59</b>	1.73	1.07	0.43	3.06			
	<b>-1.69</b>	<b>1.50</b>	2.64	<b>-0.94</b>	0.71	4.80			
	1.05	0.43	1.12	1.01	0.41	1.89			
							$\frac{1.28}{\alpha}$	0.43	②
							2.05	0.83	②

① Sans influence s'il n'y a pas de charge transversale

② Sans influence pour une section bisymétrique

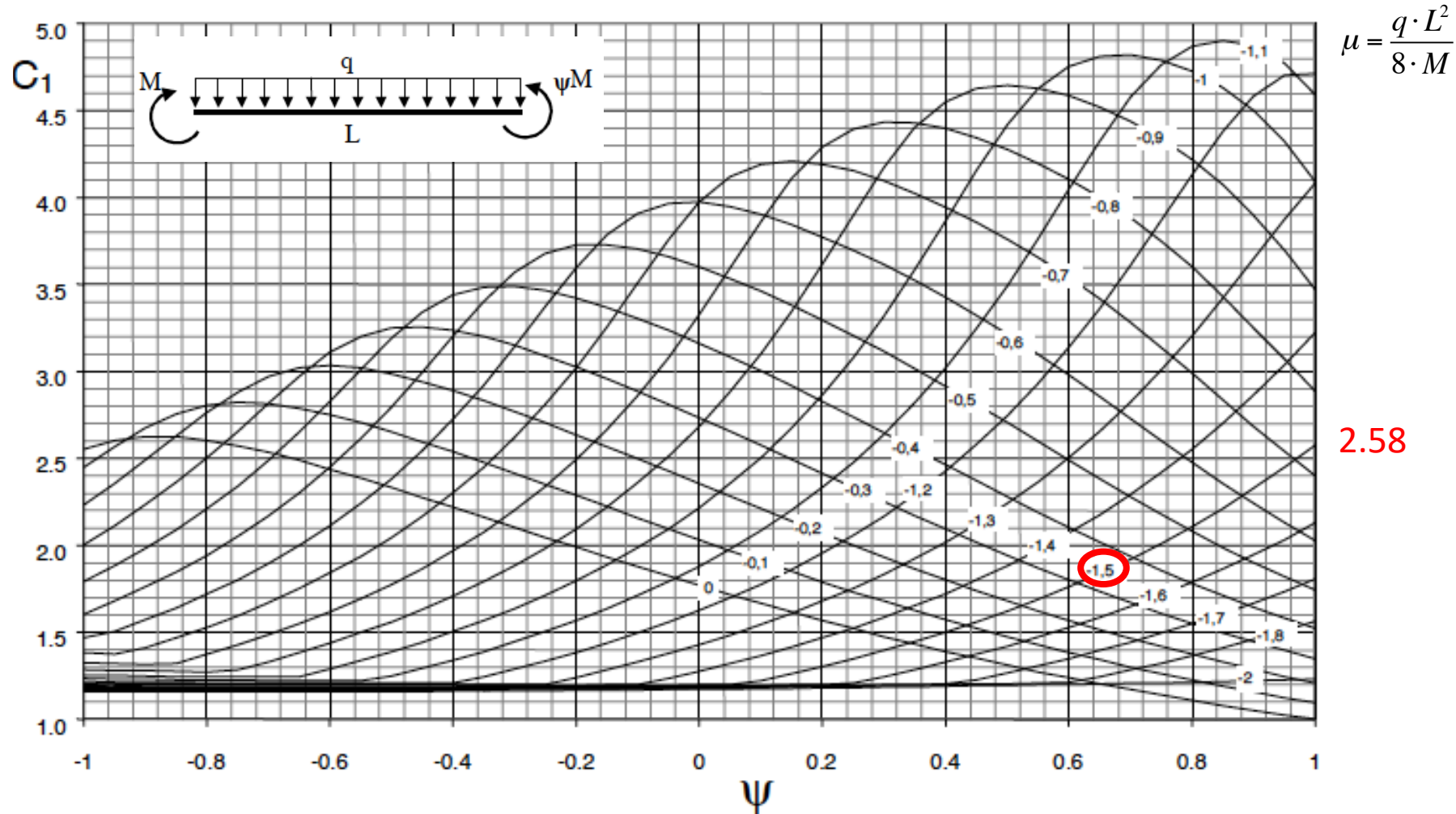
Logiciel LTbeam

$C_3$  est fonction d'un paramètre supplémentaire, fonction des inerties des parties tendue et comprimée de la section asymétrique.

# Autre manière de représenter les valeurs des coefficients

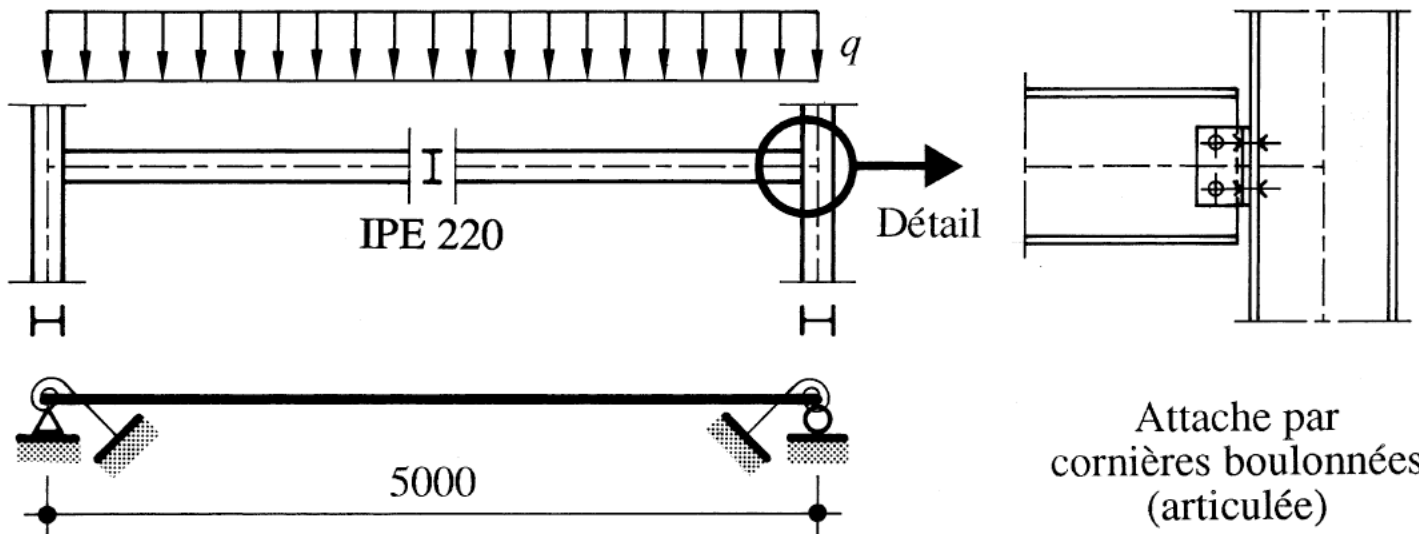
Selon Y. Galéa, construction métallique, n° 2, 2002

## Abaque 2 – Coefficient $C_1$ – Moments d'extrémité et charge répartie – $\mu$ négatif



Chargement et conditions d'appui dans le plan	Diagramme du moment fléchissant	$c_1$	$c_2$
		1,13	0,45
		2,57	1,55
		1,35	0,59
		1,69	1,50
<p><b>Note :</b> <math>M_{cr}</math> est calculé pour la section de moment maximal le long de la barre (en gras).</p>			

## Exemple de calcul 11.1 de $M_{crD}$ , cas articulé

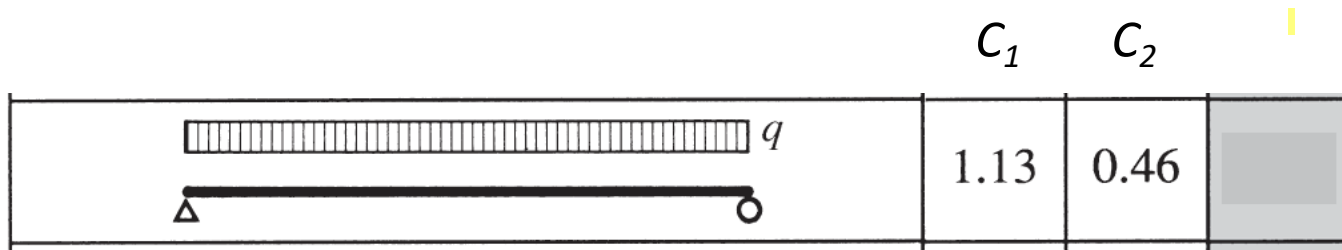
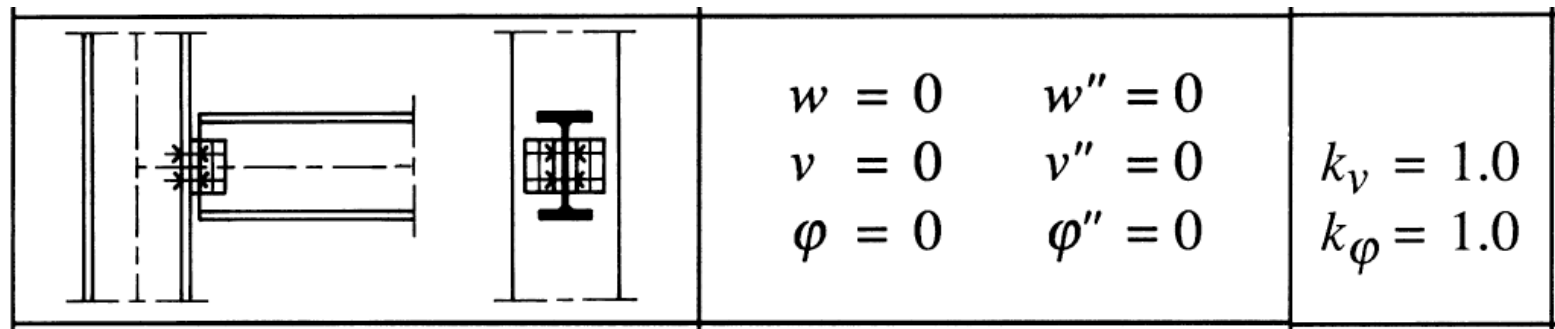


$$M_{cr} = C_1 \frac{\pi^2 EI_z}{k_v k_\varphi l_D^2} \sqrt{\frac{I_\omega}{I_z} \left( \frac{G K k_\varphi^2 l_D^2}{\pi^2 EI_\omega} + 1 \right)}$$

From table Szs C5:  $I_z = 2.05 \cdot 10^6 \text{ mm}^4, K = 0.0898 \cdot 10^6 \text{ mm}^4$

Using (4.50)  $I_\omega = I_z \frac{(h - t_f)^2}{4} = 2.05 \cdot 10^6 \frac{(220 - 9.2)^2}{4} = 22.8 \cdot 10^9 \text{ mm}^6$   
 ou (4.58b exact):

## Exemple de calcul 11.1, cas articulé



Type de liaison	articulé	semi-rigide	rigide
$k_v$	1.0	1.0	1.0
$k_\varphi$	1.0	1.0	$0.5 \rightarrow 1.0^*$
$ C_1 $	1.13	$(2.58 + 1.13)/2 = 1.85$	2.58
$ M_{cr,D} $	44.6 kNm	72.4 kNm	102 kNm
$\%  M_{cr,D, articulé} $	(100%)	(162%)	(229%)

\*admis conservativement comme valant 1.0.

## ANNEXE B     MOMENT CRITIQUE DE DEVERSEMENT **ELASTIQUE** $M_{cr}$

- B.1 Si les appuis aux extrémités de la barre sont des appuis à fourche et que la charge agit dans l'axe de la barre, le moment critique de déversement élastique est:

$$M_{cr} = W_{el,y} \sigma_{cr,D} \quad (91)$$

$\sigma_{cr,D}$  selon le chiffre B.3.

- B.2 Dans les cas pratiques et malgré les différences dans les conditions d'appuis et de l'introduction des charges, le calcul simplifié du moment critique de déversement élastique  $M_{cr}$  est généralement admis.

- B.3 La contrainte critique de déversement élastique  $\sigma_{crD}$  d'une barre à section bisymétrique est:

$$\sigma_{crD} = \sqrt{\sigma_{Dv}^2 + \sigma_{Dw}^2} \quad (92)$$

- B.4 La composante  $\sigma_{Dv}$  (torsion uniforme) de la contrainte critique de déversement élastique est donnée par :

$$\sigma_{Dv} = \eta \frac{\pi}{L_D W_{el,y}} \sqrt{GKEI_z} \quad (93)$$

$\eta$       selon le chiffre B.6

$L_D$       longueur de déversement (longueur du tronçon, soit la distance entre deux appuis latéraux empêchant le déversement)

$W_{el,y}$       module de section élastique selon l'axe fort de la section

$G, E$       selon le chiffre 3.2.2.1

$K$       constante de torsion uniforme

$I_z$       moment d'inertie de la section selon l'axe faible z.

Pour les sections à parois minces qui ne remplissent pas les conditions de la classe de section 3 (voir le chiffre 5.6.2.3), la composante  $\sigma_{Dv} = 0$ .

B.5 La composante  $\sigma_{Dw}$  (torsion non uniforme) de la contrainte critique de déversement élastique est égale à la contrainte critique de flambage élastique (Euler) de la membrure comprimée du profilé. Cette membrure se compose de l'aile comprimée et du tiers adjacent de la partie comprimée de l'âme ( $t_w h_c/3$ ) selon la figure 40:

$$\sigma_{Dw} = \frac{\pi^2 \cdot E}{\lambda_k^2} \quad (94)$$

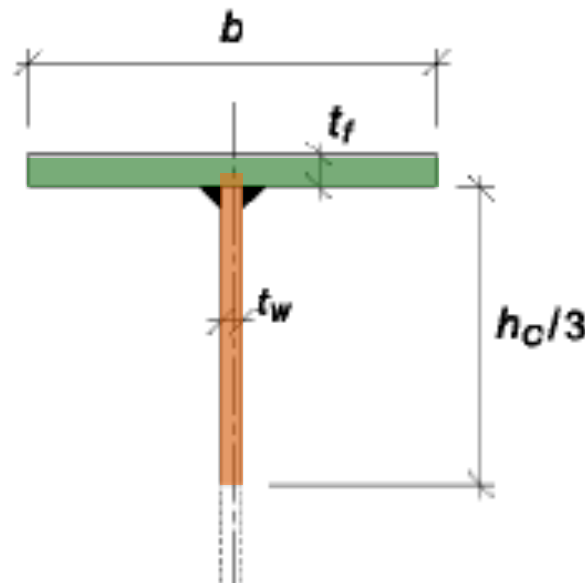
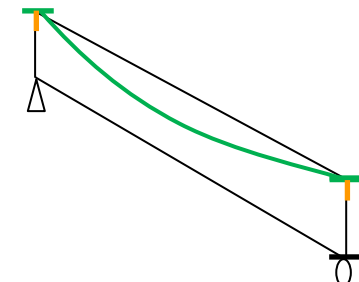
$\lambda_k = L_k/i$  élancement de la membrure comprimée

$i_D$  rayon de giration de la membrure comprimée

$L_k = L_D / \sqrt{\eta}$  longueur de déversement réduite

$L_D$  longueur de déversement (longueur du tronçon) selon chiffre B.4.

Figure 40: Membrure comprimée prise en compte dans le calcul de  $\sigma_{Dw}$



$$i_D = \sqrt[4]{\frac{I_z I_{\omega}}{W_{y,el}^2}} = \sqrt{\frac{1/2 \cdot I_z}{A_f + 1/6 \cdot A_w}}$$

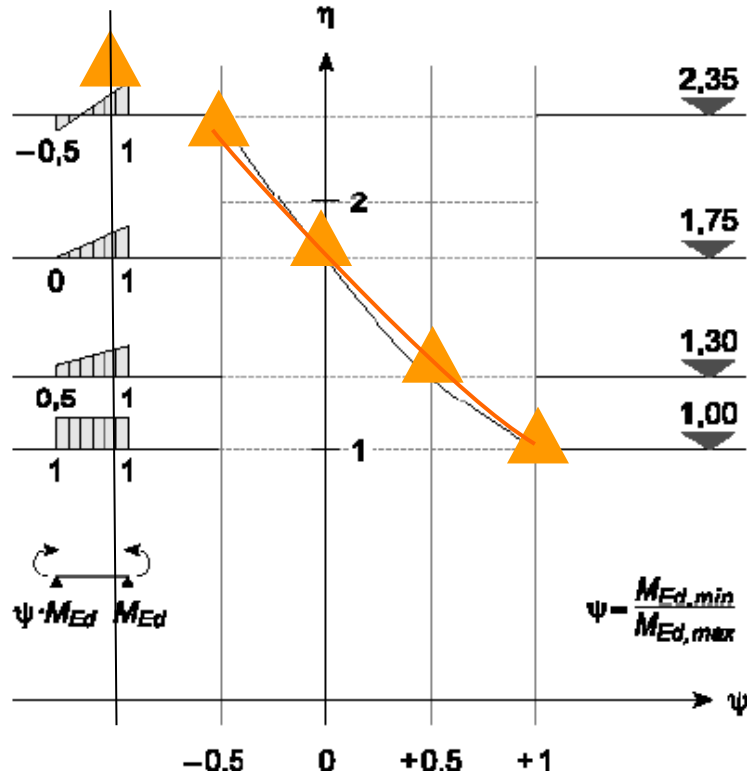
B.6

Le coefficient  $\eta$  prend en considération les appuis et le type de sollicitation à la flexion de la poutre. La formule 95, resp. la figure 41, est valable pour les tronçons de poutres avec des appuis à fourche à leurs extrémités et une répartition linéaire des moments.

$$\eta = 1,75 - 1,05\psi + 0,3\psi^2 \quad \text{pour } \psi \geq -0,5 \quad (95)$$

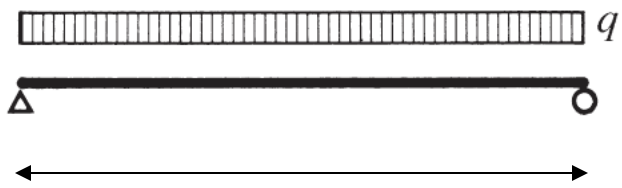
$\psi$  rapport entre le plus petit et le plus grand moment d'extrémité, signes compris (voir la figure 41).

Figure 41: Coefficient  $\eta$  pour la prise en compte des différentes répartitions des moments

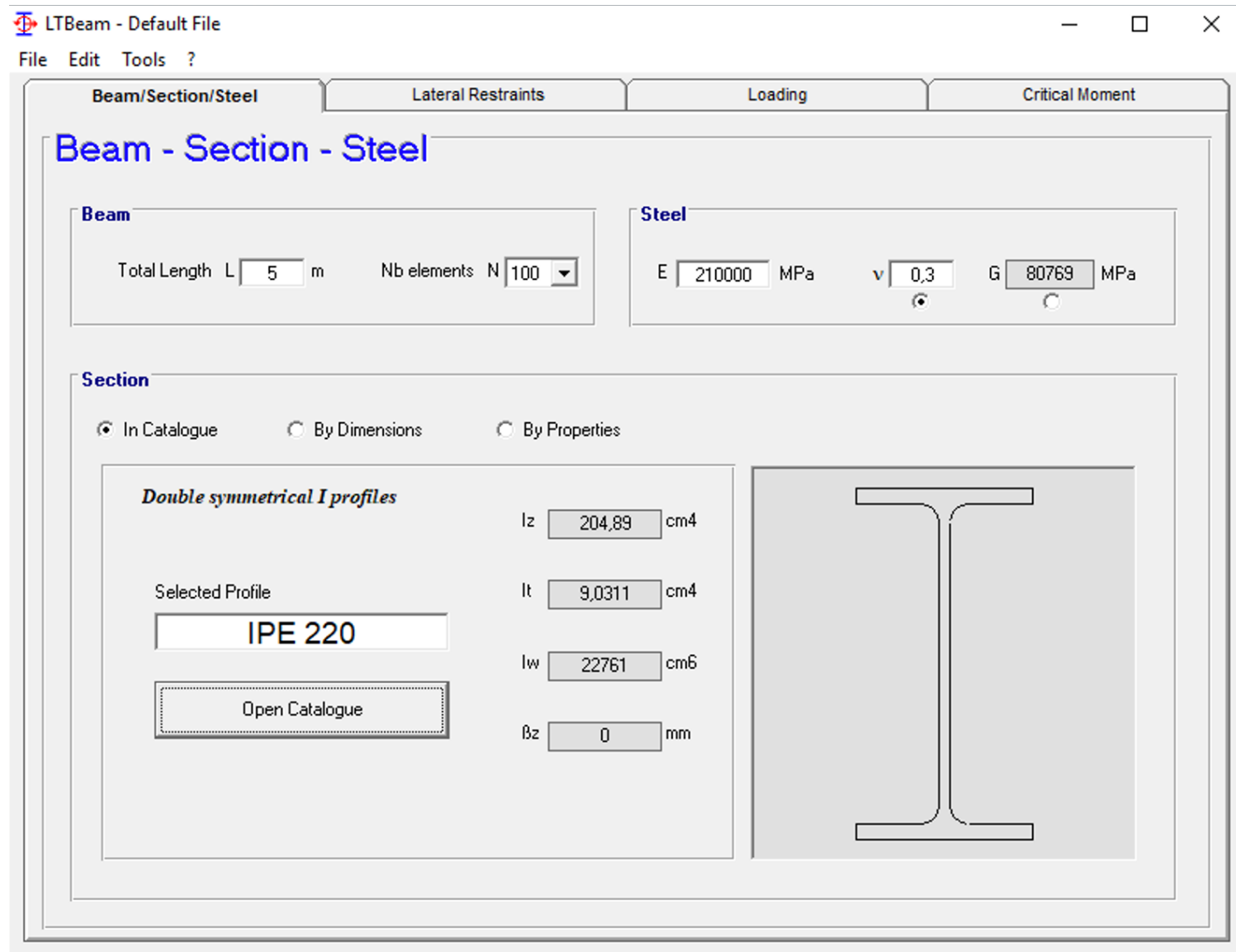


Note:  $\eta \approx \frac{C_1}{k_v}$   
 $(k_\varphi = 1,0)$

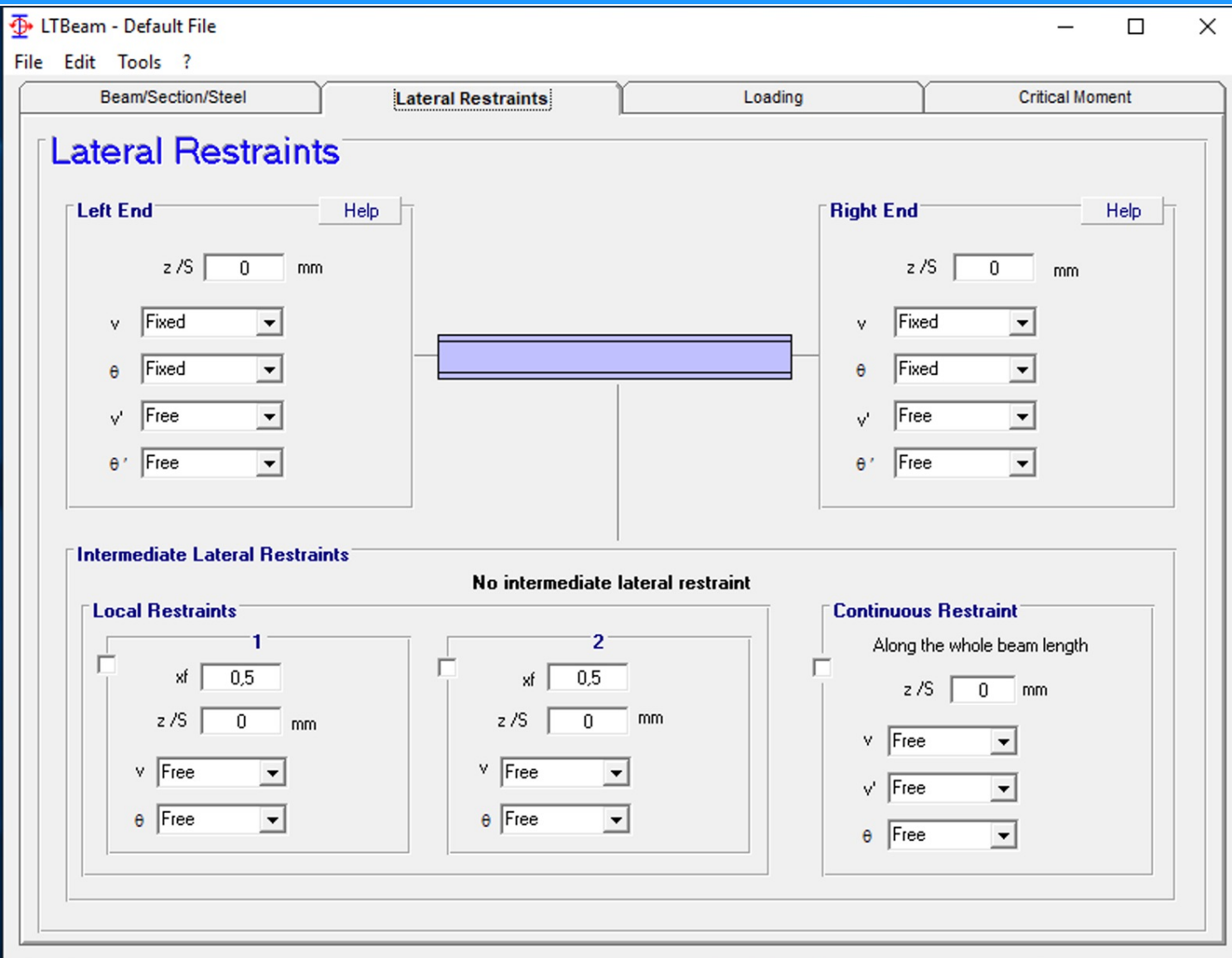
## Exemple de calcul 11.1, cas articulé, selon SIA 263, annexe B



# Alternative: Logiciel LTBeam pour le calcul de $M_{cr,D}$



# Alternative: Logiciel LTBeam pour le calcul de $M_{cr,D}$



# Alternative: Logiciel LTBeam pour le calcul de $M_{cr,D}$

LTBeam - Default File

File Edit LTBeam - Default File

File Edit Tools ?

Lat

Left

Int

L

R

Beam/Section/Steel Lateral Restraints Loading Critical Moment

### Loading

Supports at Ends in the Plane of Bending

o—o  o—|  |—o  |—|

Distributed Loads

q1 [-10] kN/m xf1 [0] z/S [0] mm  
q2 [-10] kN/m xf2 [1] z/S [0] mm

q1 [-10] kN/m xf1 [0] z/S [0] mm  
q2 [-10] kN/m xf2 [1] z/S [0] mm

External End Moments

M Left [-100] kN.m Right [100] kN.m  $\psi$  [1,000]

Point Loads

F [-10] kN xf [0,5] z/S [0] mm  
 F [0] kN xf [0] z/S [0] mm  
 F [0] kN xf [0] z/S [0] mm

Point Moment

C [100] kN.m xf [0,5]

Sketch of Loading

[Refresh]

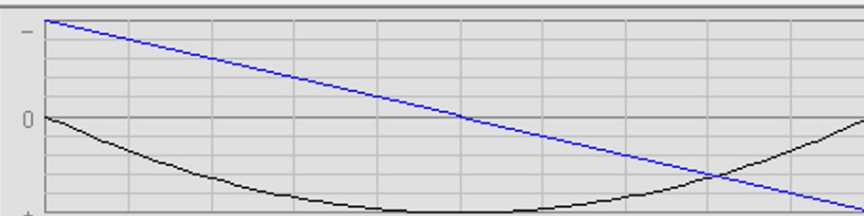


Bending and Shear Diagrams

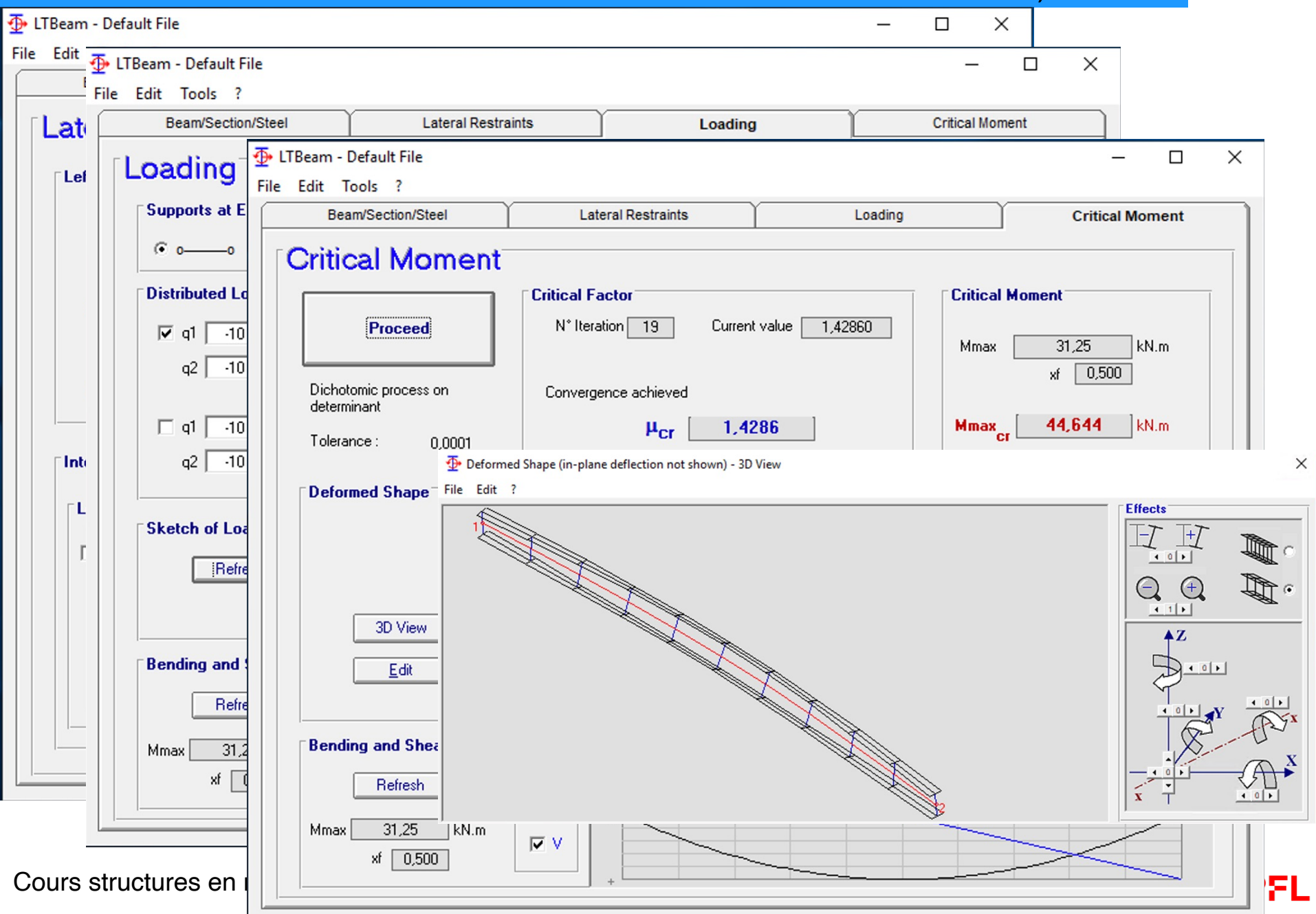
Refresh

Mmax [31,25] kN.m xf [0,500]

M  V



## Alternative: Logiciel LTBeam pour le calcul de $M_{cr,D}$

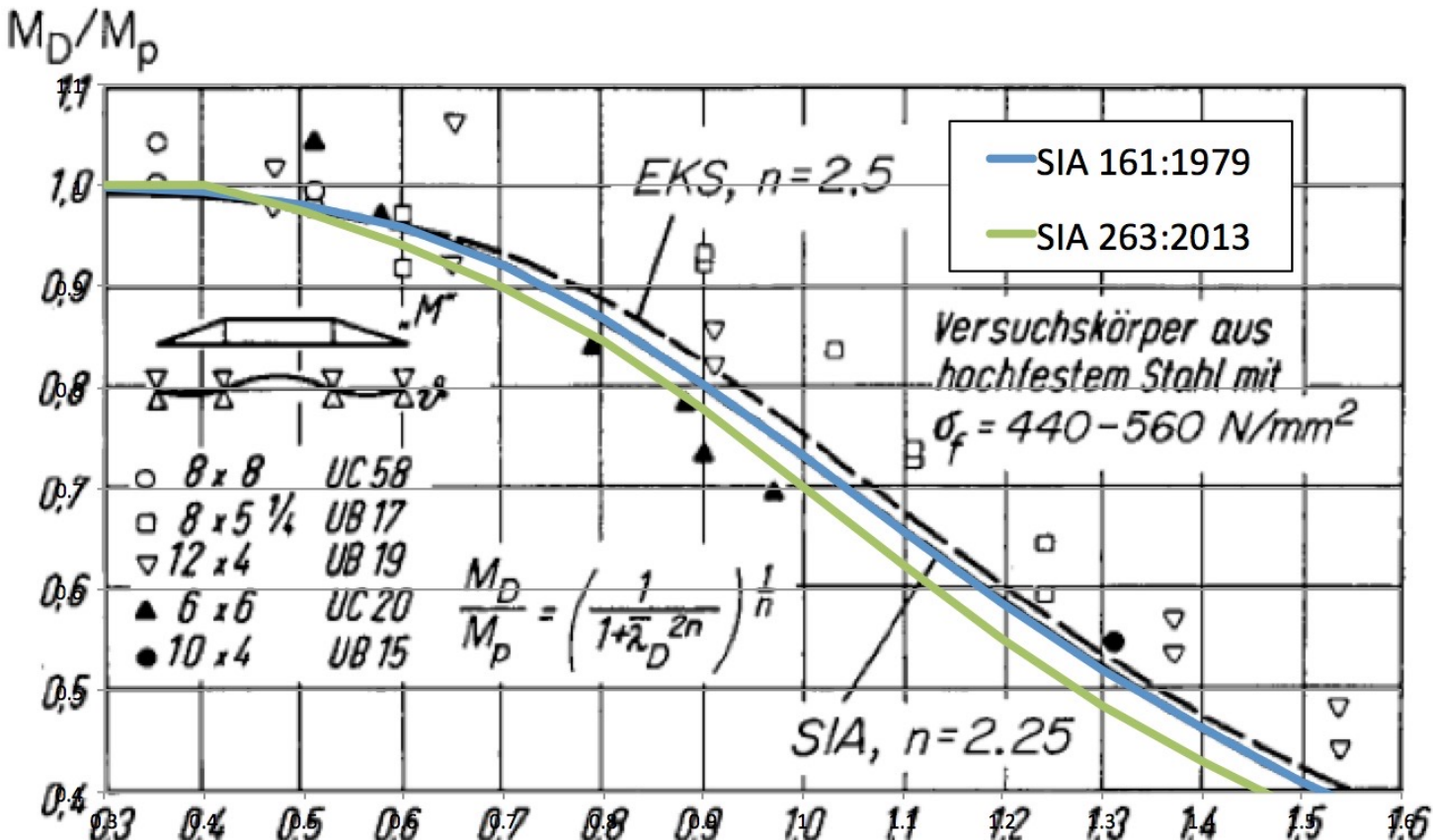


Traite des cas suivants:

- ✓ poutres à simple travée ou continues sur plusieurs appuis
  - ✓ soumises à une flexion simple dans leur plan de forte inertie
  - ✓ à sections transversales bi-symétriques ou mono-symétriques par rapport au plan de flexion
  - ✓ maintiens latéraux vis-à-vis du déversement ponctuels ou continus, rigides ou élastiques
  - ✓ maintiens du déplacement latéral, de la rotation de torsion, rotation de flexion latérale et du gauchissement
  - ✓ les charges appliquées et les maintiens latéraux peuvent agir au-dessus ou au-dessous du centre de cisaillement des sections transversales
- 
- Fonctionne sous environnements Windows XP, Vista, Windows 7, ...
  - Téléchargement logiciel:  
Voir [Moodle](https://www.cticm.com/logiciel/ltbeam/) ou directement <https://www.cticm.com/logiciel/ltbeam/>
  - Petit tutoriel vidéo disponible sur Moodle

Résistance ultime au déversement  
et résumé des formules d'interaction à utiliser

TGC 10, section 11.3



$$\bar{\lambda}_D = \sqrt{\frac{\sigma_f}{\sigma_{crD}} \cdot \frac{Z_x}{W_x}}$$

## Méthode de vérification a) pas de déversement

$$L_D \leq L_{cr}$$

$$\text{et } \frac{N_{Ed}}{N_{pl,Rd}} \leq 0,15$$

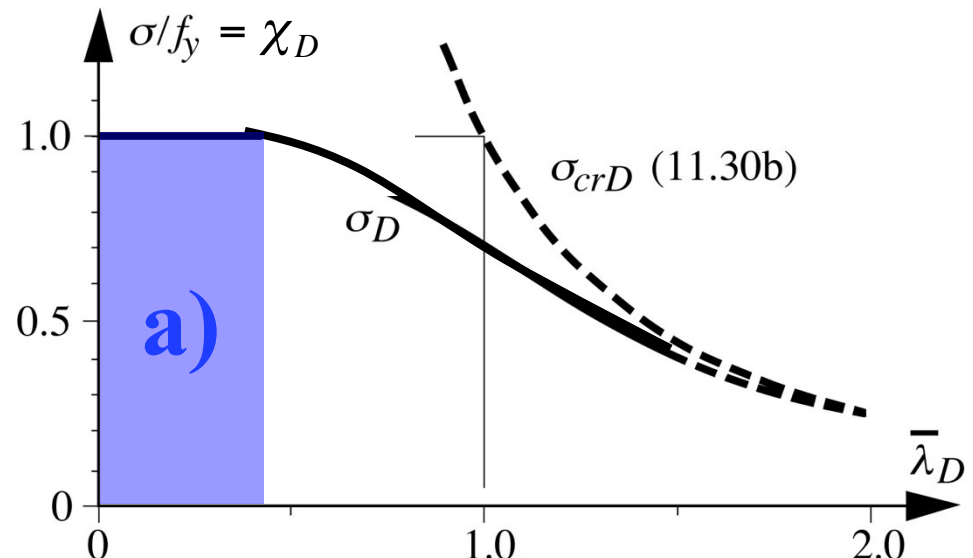
$$\text{ou } \bar{\lambda}_D \leq 0.4$$

Besoin de  $M_{cr,D}$  car :

$$\bar{\lambda}_D = \sqrt{\frac{W \cdot f_y}{M_{cr,D}}}$$

$$M_{Rd} = M_{classe}$$

Vérif. interaction si nécessaire



## Méthode de vérification b) calculer le moment résistant $M_{D,Rd}$

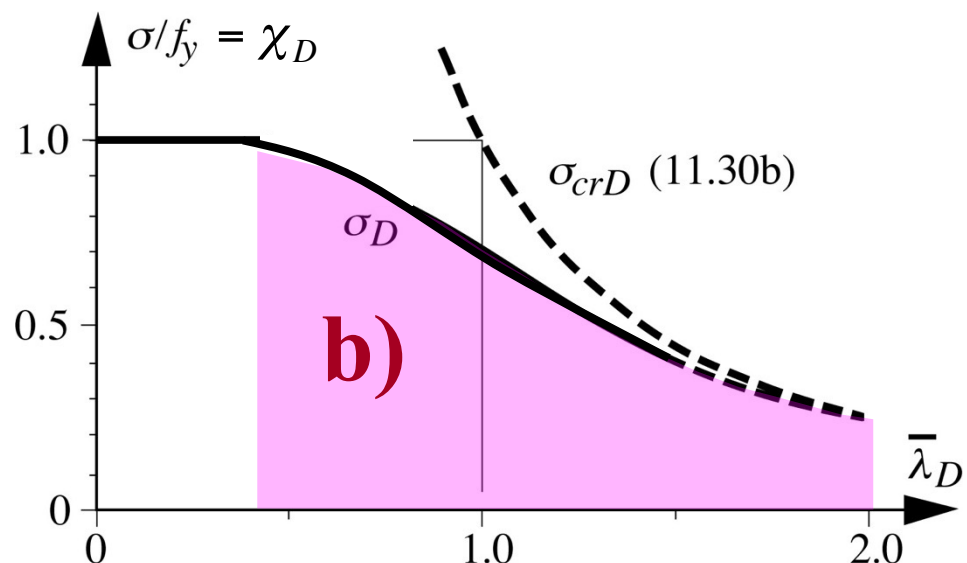
$$M_{D,Rd} = \frac{\chi_D \cdot W \cdot f_y}{\gamma_{M1}}$$

Pour cela, besoin de  $M_{cr,D}$  car :

$$\bar{\lambda}_D = \sqrt{\frac{W \cdot f_y}{M_{cr,D}}}$$

Une fois  $\chi_D$  et  $M_{D,Rd}$  déterminés,  
vérification :  $M_{Ed} \leq M_{D,Rd}$

Ou vérification interaction



# Formules des courbes de déversement (SIA 263)

## Identiques aux courbes de flambage, à part coefficients d'ajustement ( $\zeta$ et $\beta$ )

4.5.2.2 La valeur de calcul de la résistance au déversement de poutres fléchies sans appuis latéraux sera déterminée comme suit:

$$M_{D,Rd} = \chi_D \cdot W \cdot f_y / \gamma_M \quad (9)$$

$\chi_D$  facteur de réduction pour le déversement selon le chiffre 4.5.2.3

W module de section, selon la classification des sections:

classes de section 1 et 2:  $W = W_{pl,y}$

classe de section 3:  $W = W_{el,y}$

classe de section 4:  $W = W_{eff,y}$  à partir de la section efficace selon le chiffre 4.5.3

4.5.2.3 Le facteur de réduction  $\chi_D$  sera déterminé comme suit:

$$\chi_D = \frac{1}{\Phi_D + \sqrt{\Phi_D^2 - \bar{\lambda}_D^2}} \leq 1,0$$

$$\Phi_D = 0,5 \left[ 1 + \alpha_D \cdot (\bar{\lambda}_D - 0,4) + \bar{\lambda}_D^2 \right]$$

$$\chi_D = \frac{1}{\Phi_D + \sqrt{\Phi_D^2 - \beta \cdot \bar{\lambda}_D^2}} \quad (10)$$

$$\Phi_D = 0,5 \left[ 1 + \alpha_D (\bar{\lambda}_D - \zeta) + \beta \cdot \bar{\lambda}_D^2 \right]$$

Amendement  $\zeta = 0,4$  et  $\beta = 1,0$

où

$$\bar{\lambda}_D = \sqrt{\frac{W \cdot f_y}{M_{cr}}} = \sqrt{\frac{f_y}{\sigma_{cr,D}}} \cdot \sqrt{\frac{W}{W_{el}}} \text{, coefficient d'élancement au déversement}$$

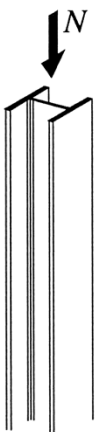
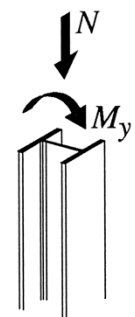
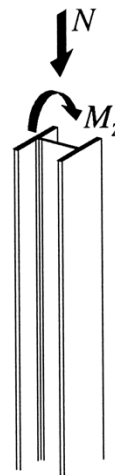
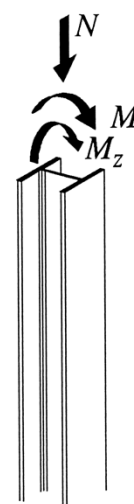
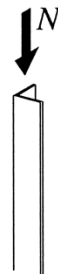
$M_{cr}, \sigma_{cr,D}$ : moment ou contrainte critique de déversement élastique déterminé selon la théorie de l'élasticité (par exemple selon l'annexe B)

Coefficients d'imperfection:

profilés laminés:  $\alpha_D = 0,21$

profilés soudés:  $\alpha_D = 0,49$

# Tableau 6.5: les différents cas d'instabilité d'éléments

$N$	$N + M_y$	$N + M_z$	$N + M_y + M_z$	$N$
				
flambage hors plan et déversement empêchés	flambage hors plan et déversement non empêchés			flambage par flexion et torsion
§ 6.3.1	§ 6.3.2	§ 6.3.3	§ 6.3.4	§ 6.3.5
exemple 6.1	exemple 6.2	exemple 6.3	–	exemple 6.4

## ELEMENT (cadres à nœuds fixes = tenu):

Formule interaction:  
SIA 263, equ. (49)

$$\frac{N_{Ed}}{N_{k,Rd}} + \frac{1}{1 - N_{Ed} / N_{cr}} \frac{\omega \cdot M_{Ed,max}}{M_{Rd}} \leq 1.0$$

$\omega = \omega_y < 1$  et déversement non-empêché, utiliser  $M_{Rd} = M_{D,Rd}$  (cours suivant)

Et aussi effectuer la vérif. en section (avec  $N_{Rd}$  et  $M_{y,Rd}$ )

Si flambage hors-plan non-empêché et  $N_{k,Rd,min} = N_{kz,Rd}$ , alors utiliser  $\omega_y = 1$  (et en flexion uniaxiale  $M_{Rd} = M_{D,Rd}$ , si biaxiale conservativement  $M_{D,Rd,min}$ )

Ceci couvre les cas d'interaction flexion-torsion, règles EC3 sont plus complètes.  
(ou alors vérif. 2<sup>ème</sup> ordre direct avec  $e_0$ ,  $\mathcal{M}_{Ed}$ )

**Autres cas:** SIA 263 § 5.1.9.1 et § 5.1.10.3

(49), (50), (51)

Pour des barres chargées transversalement ou des montants de cadres libres latéralement, la formule peut également être employée avec  $\omega$  égal à 1. Pour les cadres libres latéralement, il faut prendre les longueurs de flambage  $L_K \geq h$  correspondantes.

CADRE/ELEMENT (cadres à nœuds déplaçables = non-tenu):

## SIA 263 § 5.1.9.1

Pour des barres chargées transversalement ou des montants de cadres libres latéralement, la formule (49) peut également être employée avec  $\omega$  égal à 1. Pour les cadres libres latéralement, il faut prendre les longueurs de flambage  $L_k \geq h$  correspondantes.

Formule interaction APPROCHE I:

SIA 263, equ. (49)

SIA, non-tenu rigide  
(si souple, attention !)

$$\frac{N_{Ed}}{N_{k,Rd}} + \frac{1}{1 - N_{Ed}/N_{cr}} \frac{M_{Ed,max}}{M_{Rd}} \leq 1.0$$

1<sup>er</sup> ordre

Mode à nœuds déplaçables !  
Effets P- $\delta$  et P- $\Delta$  confondus  
(formulation Eurocode meilleure)

APPROCHE II: Vérif. en section  
(calcul 2<sup>ème</sup> ordre direct, avec  $\varphi, e_0$ ):

$$\frac{N_{Ed}}{N_{Rd}} + \frac{\mathcal{M}_{\varphi, e_0, Ed}}{M_{Rd}} \leq 1.0$$

## Errata 2022, formules (50) et (51)

- 5.1.10.1 Dans le cas de barres à section constante, sollicitées en compression et en flexion selon les deux axes, la vérification de la stabilité peut être effectuée selon la formule:

$$\frac{N_{Ed}}{N_{K,Rd}} + \frac{\omega_y}{1 - \frac{N_{Ed}}{N_{cr,y}}} \frac{M_{y,Ed}}{M_{D,Rd}} + \frac{\omega_z}{1 - \frac{N_{Ed}}{N_{cr,z}}} \frac{M_{z,Ed}}{M_{z,Rd}} \leq 1,0 \quad (50)$$

- 5.1.10.2 Dans le cas de sections I bisymétriques et de profilés creux rectangulaires laminés, sollicitées en compression et en flexion selon les deux axes, si le flambage hors du plan et le déversement ne sont pas empêchés, la vérification de la stabilité peut être effectuée selon la formule d'interaction suivante:

$$\left( \frac{\omega_y M_{y,Ed}}{M_{y,red,Rd}} \right)^\beta + \left( \frac{\omega_z M_{z,Ed}}{M_{z,red,Rd}} \right)^\beta \leq 1,0 \quad (51)$$

$M_{D,Rd}$  valeur de calcul du moment de déversement selon le chiffre 4.5.2 avec un moment constant sur toute la longueur de la barre dans le cas d'une flexion selon les deux axes, avec la répartition effective des moments dans le cas d'une flexion selon un axe

Conservatif

$M_{D,Rd,min}$  valeur de calcul du moment de déversement avec un moment constant  
 $N_{k,Rd}$  le minimum des 2 valeurs  $N_{ky,Rd}$  et  $N_{kz,Rd}$ . Si  $N_{kz,Rd}$  alors prendre  $\omega_y = 1$

# Flambage et déversement:

## Formules plus complètes de stabilité de l'Eurocode 3

- Formulation générale:

$$\frac{N_{Ed}}{N_{k,Rd}} + f_{ij} \left( \omega_i; \frac{1}{1 - N_{Ed}/N_{cri}}; \dots \right) \frac{M_{y,Ed,max}}{M_{D,Rd}} + f_{ij} \left( \omega_j; \frac{1}{1 - N_{Ed}/N_{crj}}; \dots \right) \frac{M_{z,Ed,max}}{M_{z,Rd}} \leq 1.0$$

- EN1993-1-1: 2005 § 6.3.3 et Annexe A:

$$\left\{ \begin{array}{l} \frac{N_{Ed}}{\chi_y N_{Rk}} + k_{yy} \frac{M_{y,Ed} + \Delta M_{y,Ed}}{\chi_{LT} \frac{M_{y,Rk}}{\gamma_{M1}}} + k_{yz} \frac{M_{z,Ed} + \Delta M_{z,Ed}}{\frac{M_{z,Rk}}{\gamma_{M1}}} \leq 1 \\ \frac{N_{Ed}}{\chi_z N_{Rk}} + k_{zy} \frac{M_{y,Ed} + \Delta M_{y,Ed}}{\chi_{LT} \frac{M_{y,Rk}}{\gamma_{M1}}} + k_{zz} \frac{M_{z,Ed} + \Delta M_{z,Ed}}{\frac{M_{z,Rk}}{\gamma_{M1}}} \leq 1 \end{array} \right.$$

*N<sub>Rk</sub>*

*N<sub>k,Rd</sub> =  $\frac{\chi_k \cdot f_y \cdot A}{\gamma_{M1}}$*

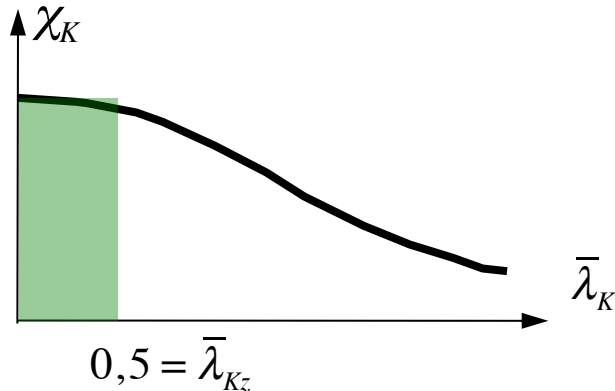
- Formulation SIA 263 (néglige le couplage d'instabilités en flexion-torsion):

$$\frac{N_{Ed}}{N_{k,Rd}} + \frac{\omega_y}{1 - N_{Ed}/N_{y,cr}} \frac{M_{y,Ed}}{M_{D,Rd}} + \frac{\omega_z}{1 - N_{Ed}/N_{z,cr}} \frac{M_{z,Ed}}{M_{z,Rd}} \leq 1.0$$

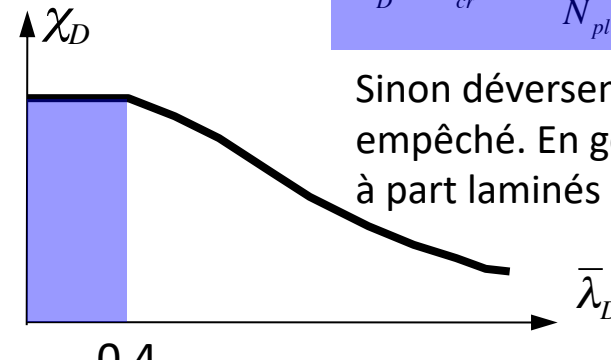
Errata 2022: Exige, conservativement,  $\omega_y = 1$  si  $N_{kz,Rd}$  et je recommande  $M_{D,Rd,min}$  si  $M$  biaxial

# Résumé utilisation des formules d'interaction N + M

Flambage :



Déversement:



$$L_D \leq L_{cr} \text{ et } \frac{N_{Ed}}{N_{pl,Rd}} \leq 0,15$$

Sinon déversement pas empêché. En général calcul EE, à part laminés double-té

Elément  $\frac{N_{Ed}}{N_{k,Rd}} + \frac{1}{1 - N_{Ed}/N_{cr}} \frac{\omega \cdot M_{Ed}}{M_{pl,Rd}} \leq 1.0$

Flambage hors plan empêché et déversement empêché, classes 1 et 2:

- Tout profilé  $\longrightarrow$  SIA 263, équ. (49) et, si nécessaire (44) En section

- Double té bisymétrique  $\longrightarrow$  SIA 263, § 5.1.9.2 et (45)

$$\frac{N_{Ed}}{N_{Rd}} + \frac{M_{y,Ed}}{M_{y,Rd}} + \frac{M_{z,Ed}}{M_{z,Rd}} \leq 1.0$$

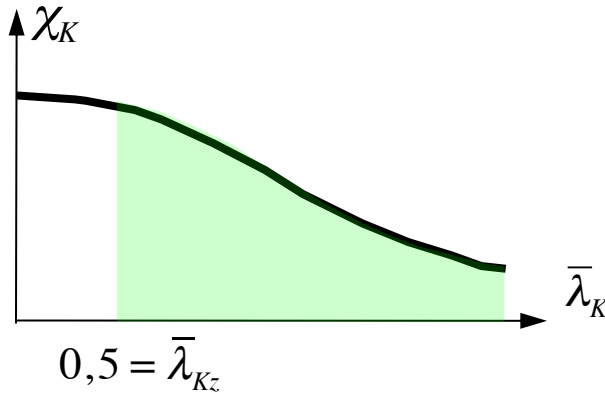
$$\frac{N_{Ed}}{N_{k,Rd}} + \frac{1}{1 - N_{Ed}/N_{cr}} \frac{\omega \cdot M_{Ed}}{\xi \cdot M_{Rd}} \leq 1.0$$

$$M_{y,Ed} \leq M_{y,N,Rd} = M_{y,Rd} \cdot \xi \cdot \left(1 - \frac{N_{Ed}}{N_{Rd}}\right) \leq M_{y,Rd}$$

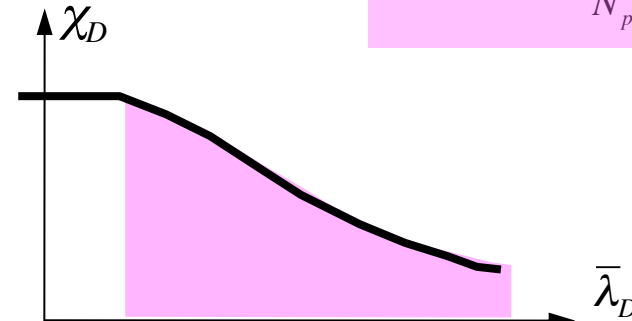
**Classe 3:** élastique, réduction correspondante des moments résistants  
**(Classe 4: formules exprimées en contrainte limite, à la place d'efforts)**

# Résumé utilisation des formules d'interaction N + M

Flambage :



Déversement:



$$L_D > L_{cr} \text{ ou } \frac{N_{Ed}}{N_{pl,Rd}} > 0,15$$

$$\min(N_{ky,Rd}; N_{kz,Rd})$$

Elément

$$\frac{N_{Ed}}{N_{k,Rd}} + \frac{\omega_y}{1 - N_{Ed}/N_{y,cr}} \frac{M_{y,Ed}}{M_{D,Rd}} + \frac{\omega_z}{1 - N_{Ed}/N_{z,cr}} \frac{M_{z,Ed}}{M_{z,Rd}} \leq 1.0$$

En section

$$\frac{N_{Ed}}{N_{Rd}} + \frac{M_{y,Ed}}{M_{y,Rd}} + \frac{M_{z,Ed}}{M_{z,Rd}} \leq 1.0$$

Flambage et déversement non-empêchés, classes 1 et 2:

- Tout profilé  $\longrightarrow$  SIA 263, équ. (50) et, si nécessaire (44)
- Double té bisymétrique  $\longrightarrow$  SIA 263, équ. (51) et ((45) ou (48))

$$\left( \frac{\omega_y \cdot M_{y,Ed}}{M_{y,red,Rd}} \right)^\beta + \left( \frac{\omega_z \cdot M_{z,Ed}}{M_{z,red,Rd}} \right)^\beta \leq 1.0 \quad \left( \frac{M_{y,Ed}}{M_{y,Rd}} \right)^2 + \left( \frac{M_{z,Ed}}{M_{z,Rd}} \right)^\beta \leq 1.0$$

- CIVIL-369: Structural Stability (Dr. A. Castro e Sousa, Prof. D. Lignos)

Advanced topics in structural stability. Static and dynamic loads; elastic & inelastic buckling of columns; beam-columns; lateral-torsional buckling; nonlinear geometric effects; structural stability in the design codes; case studies include real-world applications of stability theory.

- CIVIL-511: Evaluation de structures existantes (Profs. E. Denarié & A. Nussbaumer)

Encompasses the examination of condition and load-carrying capacity, decision criteria, and methods for rehabilitation or strengthening. Bases necessary for this approach at the level of materials (NDE, deteriorations, updating of resistance, UHPFRC and external prestressing) and structural response (safety level, updating of action effects).

- CIVIL-526: Métal, chap. choisis (Prof. A. Nussbaumer)

Accent sur particularités métal, soit les méthodes d'analyse et de dimensionn. à la fatigue et à l'incendie, de structures mixtes.



FIN

# ANNEXES backup dias avec texte

# Expression pour le moment critique de déversement élastique

1) flexion selon l'axe  $y$ :  $EI_y \cdot \frac{d^2 w}{dx^2} + \mu_y = 0$   $M_n = M_y \cdot \cos \frac{dw}{dx} \simeq M_y$

2) flexion axe faible  $z$ :  $EI_z \cdot \frac{d^2 v}{dx^2} + \mu_z = 0$   $M_y = M_y \cdot \sin \varphi \simeq M_y \cdot \varphi$

3) torsion selon  $\zeta$ : (voir TGC10, éqn. 4.63)

$\times [E1] - GK \frac{d\varphi}{dx} + EI_w \frac{d^3 \varphi}{dx^3} + T = 0$   $T = M_y \cdot \sin \frac{d\varphi}{dx} \simeq M_y \cdot \frac{d\varphi}{dx}$

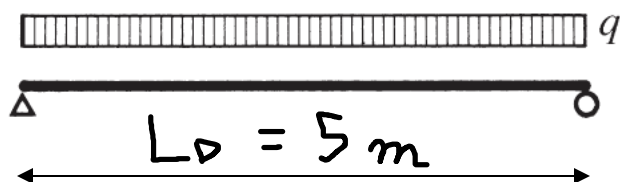
$$EI_w \frac{d^4 \varphi}{dx^4} - GK \frac{d^2 \varphi}{dx^2} = - M_y \cdot \frac{d^2 v}{dx^2} = + M_y \frac{\varphi}{EI_z}$$

cond. aux limites :  
 $x=0$  et  $L$   
 $w=0$   
 $\varphi=0$   
 $\varphi''=0$   
 $(\varphi^4 \neq 0)$

$\varphi'' - \lambda_1 \cdot \varphi'' - \lambda_2 \cdot \varphi = 0$   
 $\varphi = e^{\lambda x}$   $\lambda = \pm \alpha$   $\lambda = \pm i\beta$

$$\varphi(x) = A \cosh(\alpha \cdot x) + B \sinh(\alpha x) + C \sin(\beta x) + D \cos(\beta x)$$

# Exemple de calcul 11.1, cas articulé, selon SIA 263, annexe B



(M)

Tab. 6  $L_{CR}(EP) \approx 1000 \text{ m} \ll L_D$

$$\sigma_{Dv} = \frac{\pi}{4} \frac{\tilde{I}}{L_D \cdot W_{y,el}} \sqrt{G \cdot K \cdot E \cdot I_z} = \frac{\pi \cdot 55,96 \cdot 10^6}{5000 \cdot 252} = 139,5 \text{ N/mm}^2$$

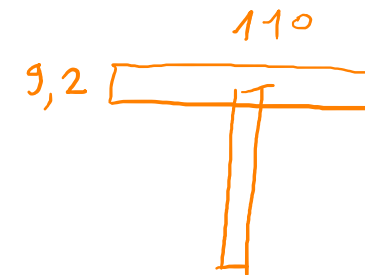
$$\sigma_{Dw} = \frac{\pi^2 E}{\lambda_k^2} = \frac{\pi^2 \cdot 210000}{172,14^2} = 70 \text{ N/mm}^2$$

$$\lambda_k = \frac{L_k}{i_D} = \frac{L_D}{\sqrt{2} \cdot i_D} = \frac{5000}{\sqrt{1,0} \cdot 29} = 172,14$$

$$\sigma_{CR,0} = \sqrt{\sigma_{Dv}^2 + \sigma_{Dw}^2} = \sqrt{139,5^2 + 70^2} = 156,1 \text{ N/mm}^2$$

$$M_{CR,0} = W_{y,el} \cdot \sigma_{CR,0} = 252 \cdot 10^3 \cdot 156,1 = 39,3 \text{ kNm}$$

(TGC 10,  $C_1 = 1,13$   
 $M_{CRD} = 44,6 \text{ kNm}$ )



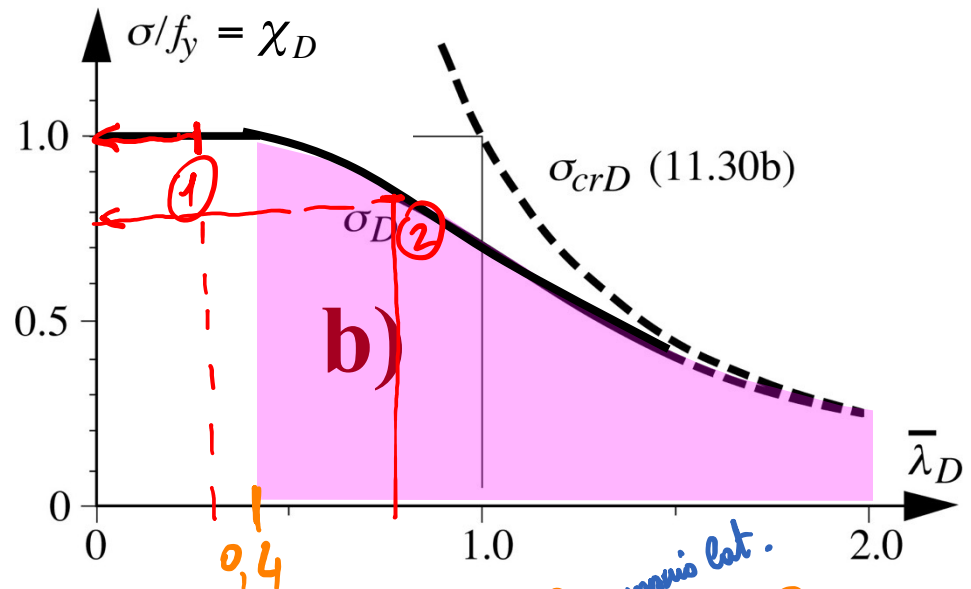
$$i_D = \sqrt{\frac{1/2 \cdot I_z}{A_f + 1/6 A_w}} = \sqrt{\frac{2,05 \cdot 10^6 / 2}{110 \cdot 9,2 + 1/6 \cdot 1240}}$$

## Méthode de vérification b) calculer le moment résistant $M_{D,Rd}$

$$M_{D,Rd} = \frac{\chi_D \cdot W \cdot f_y}{\gamma_{M1}}$$

**Pour cela, besoin de  $M_{cr,D}$  car :**

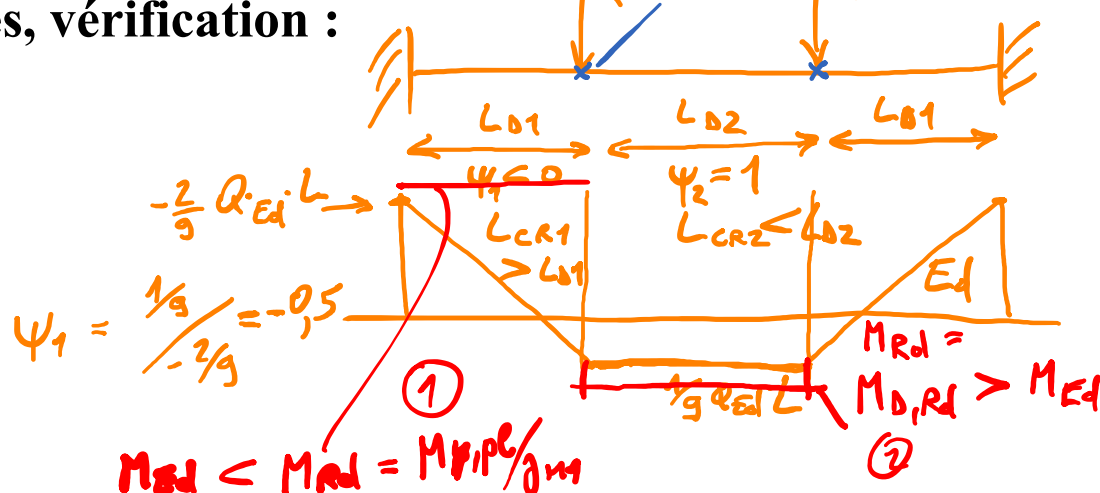
$$\bar{\lambda}_D = \sqrt{\frac{W \cdot f_y}{M_{cr,D}}}$$



### Une fois $\chi_D$ et $M_{D,Rd}$ déterminés, vérification :

$$M_{Ed} \leq M_{D,Rd}$$

## Ou vérification interaction



## CADRE SOUPLE, formule interaction, principes EN rapportés à SIA 263

CADRE SOUPLE/ELEMENT:

(Formule 1<sup>er</sup> ordre + amplif.

Efforts,

2<sup>nd</sup> terme surestime effet,

donc compensation avec 1<sup>er</sup> terme): Mode à nœuds fixes ! Effet P-δ

$$\frac{N_{Ed}}{N_{k,Rd}} + \frac{1}{1 - N_{Ed}/N_{cr}} \frac{\omega \cdot \mathcal{M}_{\varphi,Ed,max}}{M_{Rd}} \leq 1.0$$

$$3 \leq \alpha_{cr} < 10$$

$$\mathcal{M}_{\varphi,Ed} = \frac{1}{1 - 1/\alpha_{cr}} M_{I,Ed}^{H+\varphi} + M_{I,Ed}^{Vert.}$$

Mode à nœuds déplaçables

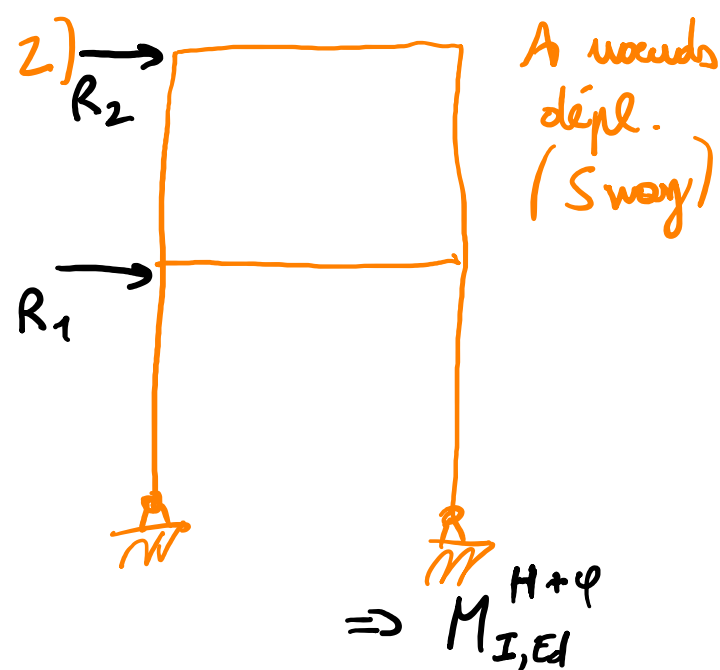
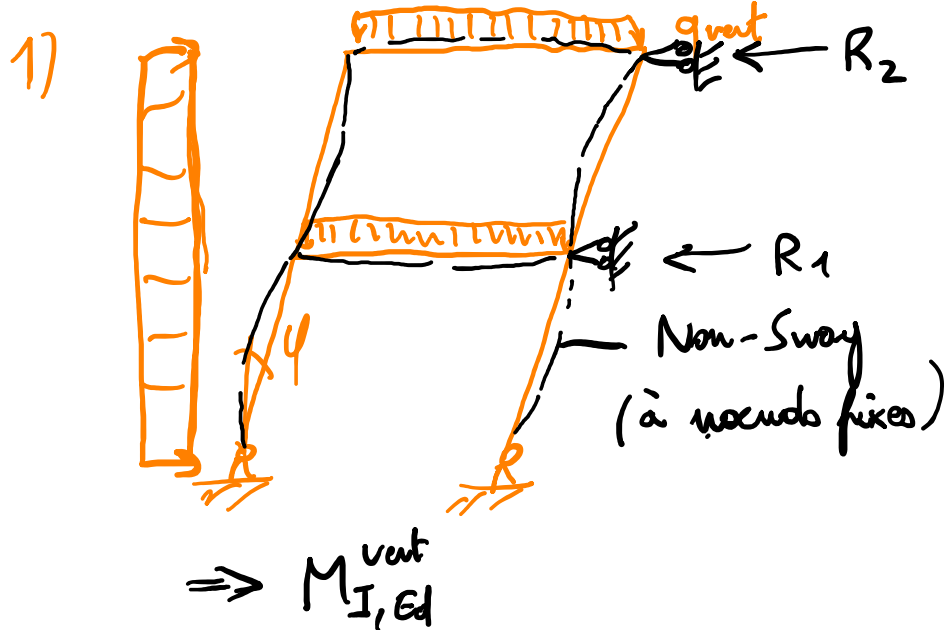
Toujours possible: Vérif. en toute section  
(calcul 2<sup>ème</sup> ordre direct, avec  $\varphi, e_0$ ):

Contient les effets de 2<sup>ème</sup> ordre P-Δ.

Dans 2<sup>nd</sup> terme formule interaction, ne reste que les effets 2<sup>ème</sup> ordre P-δ à considérer, donc modes à nœuds fixes

$$\frac{N_{Ed}}{N_{Rd}} + \frac{\mathcal{M}_{\varphi,e_0,Ed}}{M_{Rd}} \leq 1.0$$

## Cadres souples non-tenus, principe méthode « européenne »



$$\frac{N_{Ed}}{N_{K,Rd,NS}} + \frac{1}{1 - \frac{N_{Ed}}{N_{CR,NS}}} \frac{\bar{w}_y \cdot \bar{M}_{y,Ed,max}}{M_{y,Rd}} \leq 1,0$$

$\underbrace{\qquad\qquad\qquad}_{\rho - \delta}$

$M_{pl,Rd}, \dots$   
 $M_{D,Rd}, \dots$

$$M_{\varphi, Ed, \max} = M_{I, Ed}^{\text{vert}} + \frac{1}{1 - 1/\alpha_{CR, SW}} \cdot M_{I, Ed}^{H+\varphi}$$